

PROJETO DE LEI N. 027/2022

CÂMARA MUNICIPAL DE ALTA FLORESTA
Aprovado em discussão e votação
na Sessão ORDINÁRIA, de 13 DEZ. 2022
Mesa Diretora

SÚMULA: ALTERA DISPOSITIVO DA LEI MUNICIPAL Nº 1.949/2011, DE 13 DE DEZEMBRO DE 2011.

AUTORIA: Vereadores Oslen Dias dos Santos (Tuti), Marcos Roberto Menin, Bernardo Patrício dos Santos, Reginaldo Luiz da Silva (Naldo), José Vaz Neto (Eskiva), Claudinei de Souza Jesus, Francisco Ailton dos Santos, Leonice Klaus dos Santos e Francisca Ilmarli Teixeira.

A CÂMARA MUNICIPAL DE ALTA FLORESTA, Estado de Mato Grosso, no uso de suas atribuições legais, aprovou e eu, Prefeito Municipal, sanciono a seguinte Lei:

Art. 1º Fica alterado o artigo 1º da Lei nº 1.949/2011, passando a vigorar com a seguinte redação:

Art. 1º Fica denominada "1ª Vicinal Cruzeiro do Sul" a via de acesso, cuja extensão perfaz 47.715,4467 (quarenta e sete mil setecentos e quinze metros quarenta e quatro centímetros e sessenta e sete milímetros), que se inicia no entroncamento da Rodovia Estadual MT-325, comunidade Orolanda, zona rural do município de Alta Floresta, Estado de Mato Grosso, conforme Memorial Descritivo e Demonstração constante do Anexo desta Lei.

Art. 2º As demais disposições da Lei Municipal 1.949/2011, permanecem inalteradas.

Art. 3º Esta Lei entra em vigor na data de sua publicação.

Art. 4º Revogam-se as disposições em contrário.

Plenário Vereador Arnaldo Corcino da Rocha
Alta Floresta - MT, 28 de novembro de 2022.

Oslen Dias dos Santos
Vereador "Tuti"

Marcos Roberto Menin
Vereador

Bernardo Patrício dos Santos
Vereador

Reginaldo Luiz da Silva
Vereador "Naldo"

José Vaz Neto
Vereador "Zé Eskiva"

Claudinei de Souza Jesus
Vereador

Francisco Ailton Dos Santos
Vereador

Leonice Klaus dos Santos
Vereadora

Francisca Ilmarli Teixeira
Vereadora

Lido em 29/NOV/2022

Responsável

CÂMARA MUNICIPAL DE ALTA FLORESTA
Protocolo: 226/2022
Data: 29/11/2022 13:16
Interessado: (P) OSLEN DIAS DOS SANTOS
Tipo: FLUXO DINÂMICO

JUSTIFICATIVA

Encaminhamos à apreciação desse egrégio Legislativo, o incluso **PROJETO DE LEI Nº 027/2022**, que "**ALTERA DISPOSITIVO DA LEI MUNICIPAL Nº 1.949/2011, DE 13 DE DEZEMBRO DE 2011**", com o seguinte pronunciamento:

A presente Propositura almeja, tão somente, obter a necessária autorização legislativa para estabelecer com precisão a extensão da mencionada via, conforme Memorial Descritivo e Demonstração, elaborados por profissional nos termos da ART – Anotação de Responsabilidade Técnica, constante do Anexo desta Lei

Compulsando os termos da Lei Municipal nº 1.949/2011, de 13 de dezembro de 2011, verifica-se que a via de acesso que se inicia no entroncamento da Rodovia Estadual MT-325, comunidade Oulolanda, zona rural do município de Alta Floresta, Estado de Mato Grosso, fora denominada e catalogada como malha viária municipal como possuindo distância de 45.192,28 (quarenta e cinco mil cento e noventa e dois metros e vinte e oito centímetros), quando na verdade, após levantamento de campo, concluiu-se que a extensão é de 47.715,4467 (quarenta e sete mil setecentos e quinze metros quarenta e quatro centímetros e sessenta e sete milímetros).

Logo, faz-se necessário a devida correção e alteração, para fins de amparar a devida regularização fundiária dos imóveis que confrontam com a referida via, haja vista que o devido reconhecimento de confrontante/confinante deverá ser oriundo daquele que de direito detém o domínio da área vizinha ou acesso, no caso da via, o Município.

Assim, pedimos aos ilustres colegas vereadores que se manifestem de acordo com o presente Projeto de Lei, conforme proposto, e que o Poder Executivo, por sua vez, na mesma linha assim entenda, sancionando, promulgando e publicando a futura Lei.

Plenário Vereador Arnaldo Corcino da Rocha
Alta Floresta - MT, 28 de novembro de 2022.

Oslen Dias dos Santos
Vereador "Tuti"

Marcos Roberto Menin
Vereador

Bernardo Patrício dos Santos
Vereador

Reginaldo Luiz da Silva
Vereador "Naldo"

José Vaz Neto
Vereador "Zé Eskiva"

Claudinei de Souza Jesus
Vereador

Francisco Ailton Dos Santos
Vereador

Leônice Klaus dos Santos
Vereadora

Francisca Ilmarli Teixeira
Vereadora

CÂMARA MUNICIPAL DE ALTA FLORESTA
Aprovado em _____ discussão e votação
na Sessão **ORDINÁRIA**

de 13 DEZ 2022

Mesa Diretora



PREFEITURA MUNICIPAL DE ALTA FLORESTA

STA O D MATO G OS



CÂMARA MUNICIPAL DE ALTA FLORESTA
Protocolo: 226/2022
Data: 29/11/2022 13:16
Interessado: (P) OSLEN DIAS DOS SANTOS
Tipo: FLUXO DINÂMICO

PUBLICADO NO ORGÃO
OFICIAL ED 2851 DE
15/12/2021 a 16/12/2021
289 07
Procuradora Jurídica do Município

LEI N.º 1949/2011

**SÚMULA: DENOMINA 1ª VICINAL
CRUZEIRO DO SUL E INCLUI NA MALHA
VIÁRIA MUNICIPAL A VIA QUE
ESPECIFICA, E DÁ OUTRAS
PROVIDÊNCIAS.**

AUTORIA: Vereadores Oslen Dias dos Santos e
Francisco Militão Matheus Brito.

Lido em 29, NOV, 2022
Responsável

**A CÂMARA MUNICIPAL DE ALTA
FLORESTA**, Estado de Mato Grosso, no uso de
suas atribuições legais, aprovou e eu, Maria Izaura
Dias Alfonso, Prefeita Municipal, sanciono a
seguinte Lei:

Art. 1º A via de acesso, com uma extensão de 45.192,28 mil metros, iniciada na Comunidade Orolanda, em direção e de acesso às propriedades da Gleba Cruzeiro Sul, zona rural do município de Alta Floresta, Estado de Mato Grosso, passa a denominar-se **"1ª Vicinal Cruzeiro do Sul"**.

Art. 2º O Poder Executivo, através da pasta competente, fará identificação com placa visível aos transeuntes.

Art. 3º A estrada ora denominada fica incluída na malha viária municipal.

Párrafo único. Esta estrada constará obrigatoriamente nos mapas viários oficiais a serem elaborados.

Art. 4º Será competência da Prefeitura Municipal de Alta Floresta - MT, através da Secretaria Municipal de Infraestrutura o seguinte:

I. a realização dos serviços de manutenção, recuperação e sinalização da referida estrada;

II. destinar materiais, ferramentas e equipamentos necessários à efetivação do previsto no inciso anterior; e

Lei n.º 1949/2011 - Pág. 1



PREFEITURA MUNICIPAL DE ALTA FLORESTA

ESTADO DE MATO GROSSO



A Força da União

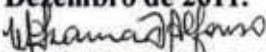
III. colocar à disposição, pessoal capacitado, suficiente, para realização dos trabalhos necessários na referida estrada.

Art. 5º Aplica-se à referida estrada os dispositivos da Lei Municipal N. 336/91 (Define a Faixa de Domínio Público nas Estradas Vicinais do Município).

Art. 6º Esta Lei entra em vigor na data de sua publicação.

Art. 7º Revogam-se as disposições em contrário.

**PREFEITURA MUNICIPAL DE ALTA FLORESTA-MT, em
13 de Dezembro de 2011.**


MARIA IZAURA DIAS ALFONSO
Prefeita Municipal

Lido em 20 / NOV / 2011

Responsável

MEMORIAL DESCRITIVO

Lido em 29/NOV/2022

Responsável

Malha Viária Municipal: 1ª Vicinal Cruzeiro do Sul
Região : Pista do Cabeça
Município : Alta Floresta U.F: MT - BR
Perímetro (m) : 47.715,4467 m (Quarenta e sete mil setecentos e quinze metros quarenta e quatro centímetros e sessenta e sete milímetros)

Inicia-se a descrição deste perímetro no vértice **M-0001**, com intersecção a MT-325, georreferenciado no Sistema Geodésico Brasileiro, DATUM - SIRGAS2000, MC-57°W, de coordenadas **-10°22'14,772" S e -56°25'26,436" W**; deste segue, com azimute de 261°11'23" por uma distância de 37.589,81m até o vértice **-M-0002**, de coordenadas **-10°25'23,774" S e -56°45'47,857" W**; deste segue, com azimute de 352°57'02" por uma distância de 612,31m até o vértice **-M-0003**, de coordenadas **-10°25'03,990" S e -56°45'50,343" W**; deste segue, com azimute de 299°05'56" por uma distância de 297,94m até o vértice **-M-0004**, de coordenadas **-10°24'59,279" S e -56°45'58,910" W**; deste segue, com azimute de 294°19'11" por uma distância de 1.763,42m até o vértice **-M-0005**, de coordenadas **-10°24'35,671" S e -56°46'51,779" W**; deste segue, com azimute de 348°02'14" por uma distância de 1.239,95m até o vértice **-M-0006**, de coordenadas **-10°23'56,182" S e -56°47'00,260" W**; deste segue, com azimute de 107°00'50" por uma distância de 375,10m até o vértice **-M-0007**, de coordenadas **-10°23'59,747" S e -56°46'48,460" W**; deste segue, com azimute de 95°16'26" por uma distância de 342,51m até o vértice **-M-0008**, de coordenadas **-10°24'00,764" S e -56°46'37,243" W**; deste segue, com azimute de 2°05'52" por uma distância de 1.044,61m até o vértice **-M-0009**, de coordenadas **-10°23'26,774" S e -56°46'36,009" W**; deste segue, com azimute de 102°26'40" por uma distância de 264,55m até o vértice **-M-0010**, de coordenadas **-10°23'28,624" S e -56°46'27,512" W**; deste segue, com azimute de 85°38'24" por uma distância de 219,44m até o vértice **-M-0011**, de coordenadas **-10°23'28,076" S e -56°46'20,316" W**; deste segue, com azimute de 25°41'47" por uma distância de 235,83m até o vértice **-M-0012**, de coordenadas **-10°23'21,155" S e -56°46'16,958" W**; deste segue, com azimute de 6°10'55" por uma distância de 165,77m até o vértice **-M-0013**, de coordenadas **-10°23'15,788" S e -56°46'16,375" W**; deste segue, com azimute de 67°55'56" por uma distância de 21,13m até o vértice **-M-0014**, de coordenadas **-10°23'15,529" S e -56°46'15,731" W**; deste segue, com azimute de 63°26'05" por uma distância de 11,83m até o vértice **-M-0015**, de coordenadas **-10°23'15,357" S e -56°46'15,383" W**; deste segue, com azimute de 37°34'09" por uma distância de 8,68m até o vértice **-M-0016**, de coordenadas **-10°23'15,133" S e -56°46'15,209" W**; deste segue, com azimute de 31°25'47" por uma distância de 11,16m até o vértice **-M-0017**, de coordenadas **-10°23'14,823" S e -56°46'15,018" W**; deste segue, com azimute de 31°25'46" por uma distância de 11,16m até o vértice **-M-0018**, de coordenadas **-10°23'14,512" S e -56°46'14,827" W**; deste segue, com azimute de 28°18'03" por uma distância de 7,81m até o vértice **-M-0019**, de coordenadas **-10°23'14,288" S e -56°46'14,705" W**; deste segue, com azimute de 28°36'38" por uma distância de 6,63m até o vértice **-M-0020**, de coordenadas **-10°23'14,099" S e -56°46'14,601" W**; deste segue, com azimute de 41°03'17" por uma distância de 21,75m até o vértice **-M-0021**, de coordenadas **-10°23'13,564" S e -56°46'14,132" W**; deste segue, com azimute de 11°18'37" por uma distância de 13,49m até o vértice **-M-0022**, de coordenadas **-10°23'13,133" S e -56°46'14,045" W**; deste segue, com azimute de 351°52'11" por uma distância de 14,97m até o vértice **-M-0023**, de coordenadas **-10°23'12,651" S e -56°46'14,115" W**; deste segue, com azimute de 360°00'00" por

uma distância de 12,70m até o vértice **-M-0024**, de coordenadas **-10°23'12,238" S e -56°46'14,115" W**; deste segue, com azimute de 4°58'10" por uma distância de 12,22m até o vértice **-M-0025**, de coordenadas **-10°23'11,841" S e -56°46'14,081" W**; deste segue, com azimute de 0°00'00" por uma distância de 6,35m até o vértice **-M-0026**, de coordenadas **-10°23'11,634" S e -56°46'14,081" W**; deste segue, com azimute de 8°07'48" por uma distância de 22,45m até o vértice **-M-0027**, de coordenadas **-10°23'10,911" S e -56°46'13,977" W**; deste segue, com azimute de 360°00'00" por uma distância de 20,11m até o vértice **-M-0028**, de coordenadas **-10°23'10,256" S e -56°46'13,977" W**; deste segue, com azimute de 16°30'16" por uma distância de 29,80m até o vértice **-M-0029**, de coordenadas **-10°23'09,325" S e -56°46'13,700" W**; deste segue, com azimute de 6°06'56" por uma distância de 14,90m até o vértice **-M-0030**, de coordenadas **-10°23'08,843" S e -56°46'13,648" W**; deste segue, com azimute de 19°47'56" por uma distância de 14,06m até o vértice **-M-0031**, de coordenadas **-10°23'08,412" S e -56°46'13,491" W**; deste segue, com azimute de 12°54'27" por uma distância de 26,06m até o vértice **-M-0032**, de coordenadas **-10°23'07,585" S e -56°46'13,301" W**; deste segue, com azimute de 7°07'30" por uma distância de 21,33m até o vértice **-M-0033**, de coordenadas **-10°23'06,896" S e -56°46'13,214" W**; deste segue, com azimute de 9°17'36" por uma distância de 29,49m até o vértice **-M-0034**, de coordenadas **-10°23'05,948" S e -56°46'13,058" W**; deste segue, com azimute de 21°48'05" por uma distância de 14,25m até o vértice **-M-0035**, de coordenadas **-10°23'05,517" S e -56°46'12,884" W**; deste segue, com azimute de 10°07'28" por uma distância de 15,05m até o vértice **-M-0036**, de coordenadas **-10°23'05,035" S e -56°46'12,798" W**; deste segue, com azimute de 16°23'23" por uma distância de 9,38m até o vértice **-M-0037**, de coordenadas **-10°23'04,742" S e -56°46'12,711" W**; deste segue, com azimute de 360°00'00" por uma distância de 9,46m até o vértice **-M-0038**, de coordenadas **-10°23'04,434" S e -56°46'12,711" W**; deste segue, com azimute de 360°00'00" por uma distância de 2,18m até o vértice **-M-0039**, de coordenadas **-10°23'04,363" S e -56°46'12,711" W**; deste segue, com azimute de 12°48'15" por uma distância de 11,94m até o vértice **-M-0040**, de coordenadas **-10°23'03,984" S e -56°46'12,624" W**; deste segue, com azimute de 16°30'17" por uma distância de 14,90m até o vértice **-M-0041**, de coordenadas **-10°23'03,518" S e -56°46'12,486" W**; deste segue, com azimute de 4°53'57" por uma distância de 18,59m até o vértice **-M-0042**, de coordenadas **-10°23'02,915" S e -56°46'12,434" W**; deste segue, com azimute de 352°52'30" por uma distância de 12,80m até o vértice **-M-0043**, de coordenadas **-10°23'02,502" S e -56°46'12,486" W**; deste segue, com azimute de 8°07'48" por uma distância de 7,48m até o vértice **-M-0044**, de coordenadas **-10°23'02,260" S e -56°46'12,452" W**; deste segue, com azimute de 50°35'57" por uma distância de 19,17m até o vértice **-M-0045**, de coordenadas **-10°23'01,864" S e -56°46'11,965" W**; deste segue, com azimute de 49°53'57" por uma distância de 13,14m até o vértice **-M-0046**, de coordenadas **-10°23'01,588" S e -56°46'11,634" W**; deste segue, com azimute de 59°32'05" por uma distância de 10,44m até o vértice **-M-0047**, de coordenadas **-10°23'01,415" S e -56°46'11,338" W**; deste segue, com azimute de 54°46'56" por uma distância de 11,01m até o vértice **-M-0048**, de coordenadas **-10°23'01,208" S e -56°46'11,043" W**; deste segue, com azimute de 55°00'31" por uma distância de 6,46m até o vértice **-M-0049**, de coordenadas **-10°23'01,088" S e -56°46'10,869" W**; deste segue, com azimute de 79°12'56" por uma distância de 11,31m até o vértice **-M-0050**, de coordenadas **-10°23'01,019" S e -56°46'10,503" W**; deste segue, com azimute de 86°59'13" por uma distância de 10,07m até o vértice **-M-0051**, de coordenadas **-10°23'01,001" S e -56°46'10,173" W**; deste segue, com azimute de 72°38'46" por uma distância de 8,87m até o vértice **-M-0052**, de coordenadas **-10°23'00,915" S e -56°46'09,894" W**; deste segue, com azimute de 68°11'54" por uma distância de 11,40m até o vértice **-M-0053**, de coordenadas -

Responsável

Lido em 29 NOV 2022

10°23'00,777" S e -56°46'09,547" W; deste segue, com azimute de 66°34'29" por uma distância de 24,13m até o vértice **-M-0054**, de coordenadas **-10°23'00,464" S e -56°46'08,819" W**; deste segue, com azimute de 65°09'27" por uma distância de 39,36m até o vértice **-M-0055**, de coordenadas **-10°22'59,925" S e -56°46'07,644" W**; deste segue, com azimute de 46°13'08" por uma distância de 21,99m até o vértice **-M-0056**, de coordenadas **-10°22'59,429" S e -56°46'07,123" W**; deste segue, com azimute de 52°31'26" por uma distância de 50,01m até o vértice **-M-0057**, de coordenadas **-10°22'58,437" S e -56°46'05,818" W**; deste segue, com azimute de 56°46'05" por uma distância de 22,93m até o vértice **-M-0058**, de coordenadas **-10°22'58,028" S e -56°46'05,188" W**; deste segue, com azimute de 57°22'51" por uma distância de 39,27m até o vértice **-M-0059**, de coordenadas **-10°22'57,338" S e -56°46'04,101" W**; deste segue, com azimute de 58°23'34" por uma distância de 20,19m até o vértice **-M-0060**, de coordenadas **-10°22'56,993" S e -56°46'03,535" W**; deste segue, com azimute de 53°07'48" por uma distância de 19,84m até o vértice **-M-0061**, de coordenadas **-10°22'56,605" S e -56°46'03,013" W**; deste segue, com azimute de 64°13'51" por uma distância de 21,30m até o vértice **-M-0062**, de coordenadas **-10°22'56,303" S e -56°46'02,383" W**; deste segue, com azimute de 63°26'05" por uma distância de 20,71m até o vértice **-M-0063**, de coordenadas **-10°22'56,001" S e -56°46'01,774" W**; deste segue, com azimute de 30°57'49" por uma distância de 11,57m até o vértice **-M-0064**, de coordenadas **-10°22'55,678" S e -56°46'01,579" W**; deste segue, com azimute de 34°26'21" por uma distância de 28,07m até o vértice **-M-0065**, de coordenadas **-10°22'54,923" S e -56°46'01,057" W**; deste segue, com azimute de 44°59'59" por uma distância de 16,84m até o vértice **-M-0066**, de coordenadas **-10°22'54,535" S e -56°46'00,666" W**; deste segue, com azimute de 19°34'23" por uma distância de 31,59m até o vértice **-M-0067**, de coordenadas **-10°22'53,566" S e -56°46'00,318" W**; deste segue, com azimute de 15°31'27" por uma distância de 24,71m até o vértice **-M-0068**, de coordenadas **-10°22'52,790" S e -56°46'00,101" W**; deste segue, com azimute de 18°55'29" por uma distância de 24,47m até o vértice **-M-0069**, de coordenadas **-10°22'52,036" S e -56°45'59,841" W**; deste segue, com azimute de 12°48'15" por uma distância de 14,92m até o vértice **-M-0070**, de coordenadas **-10°22'51,563" S e -56°45'59,732" W**; deste segue, com azimute de 62°47'03" por uma distância de 26,03m até o vértice **-M-0071**, de coordenadas **-10°22'51,174" S e -56°45'58,971" W**; deste segue, com azimute de 48°34'35" por uma distância de 15,00m até o vértice **-M-0072**, de coordenadas **-10°22'50,851" S e -56°45'58,602" W**; deste segue, com azimute de 76°45'33" por uma distância de 11,55m até o vértice **-M-0073**, de coordenadas **-10°22'50,765" S e -56°45'58,232" W**; deste segue, com azimute de 90°48'25" por uma distância de 46,97m até o vértice **-M-0074**, de coordenadas **-10°22'50,785" S e -56°45'56,688" W**; deste segue, com azimute de 107°44'41" por uma distância de 17,36m até o vértice **-M-0075**, de coordenadas **-10°22'50,957" S e -56°45'56,144" W**; deste segue, com azimute de 90°00'00" por uma distância de 31,09m até o vértice **-M-0076**, de coordenadas **-10°22'50,956" S e -56°45'55,121" W**; deste segue, com azimute de 69°54'17" por uma distância de 28,88m até o vértice **-M-0077**, de coordenadas **-10°22'50,633" S e -56°45'54,229" W**; deste segue, com azimute de 79°59'31" por uma distância de 34,26m até o vértice **-M-0078**, de coordenadas **-10°22'50,438" S e -56°45'53,120" W**; deste segue, com azimute de 73°54'33" por uma distância de 35,80m até o vértice **-M-0079**, de coordenadas **-10°22'50,114" S e -56°45'51,989" W**; deste segue, com azimute de 80°18'41" por uma distância de 27,51m até o vértice **-M-0080**, de coordenadas **-10°22'49,963" S e -56°45'51,097" W**; deste segue, com azimute de 70°58'28" por uma distância de 20,29m até o vértice **-M-0081**, de coordenadas **-10°22'49,747" S e -56°45'50,467" W**; deste segue, com azimute de 80°16'21" por uma distância de 23,49m até o vértice **-M-0082**, de coordenadas **-10°22'49,617" S e -56°45'49,706" W**; deste segue, com azimute de

Lido em 29 NOV 2022
Responsável



70°54'23" por uma distância de 18,20m até o vértice **-M-0083**, de coordenadas **-10°22'49,423" S e -56°45'49,140" W**; deste segue, com azimute de 68°11'55" por uma distância de 24,93m até o vértice **-M-0084**, de coordenadas **-10°22'49,121" S e -56°45'48,379" W**; deste segue, com azimute de 46°32'54" por uma distância de 17,31m até o vértice **-M-0085**, de coordenadas **-10°22'48,733" S e -56°45'47,966" W**; deste segue, com azimute de 43°09'09" por uma distância de 14,51m até o vértice **-M-0086**, de coordenadas **-10°22'48,388" S e -56°45'47,640" W**; deste segue, com azimute de 34°41'42" por uma distância de 10,46m até o vértice **-M-0087**, de coordenadas **-10°22'48,108" S e -56°45'47,444" W**; deste segue, com azimute de 42°52'45" por uma distância de 12,64m até o vértice **-M-0088**, de coordenadas **-10°22'47,806" S e -56°45'47,162" W**; deste segue, com azimute de 44°59'59" por uma distância de 10,29m até o vértice **-M-0089**, de coordenadas **-10°22'47,569" S e -56°45'46,923" W**; deste segue, com azimute de 52°07'31" por uma distância de 15,08m até o vértice **-M-0090**, de coordenadas **-10°22'47,267" S e -56°45'46,532" W**; deste segue, com azimute de 78°21'59" por uma distância de 22,96m até o vértice **-M-0091**, de coordenadas **-10°22'47,116" S e -56°45'45,792" W**; deste segue, com azimute de 90°45'50" por uma distância de 49,61m até o vértice **-M-0092**, de coordenadas **-10°22'47,136" S e -56°45'44,160" W**; deste segue, com azimute de 90°00'00" por uma distância de 33,73m até o vértice **-M-0093**, de coordenadas **-10°22'47,135" S e -56°45'43,051" W**; deste segue, com azimute de 96°04'21" por uma distância de 31,26m até o vértice **-M-0094**, de coordenadas **-10°22'47,242" S e -56°45'42,028" W**; deste segue, com azimute de 91°10'09" por uma distância de 32,42m até o vértice **-M-0095**, de coordenadas **-10°22'47,263" S e -56°45'40,962" W**; deste segue, com azimute de 90°00'00" por uma distância de 37,04m até o vértice **-M-0096**, de coordenadas **-10°22'47,262" S e -56°45'39,744" W**; deste segue, com azimute de 91°21'50" por uma distância de 27,79m até o vértice **-M-0097**, de coordenadas **-10°22'47,283" S e -56°45'38,831" W**; deste segue, com azimute de 95°04'47" por uma distância de 29,88m até o vértice **-M-0098**, de coordenadas **-10°22'47,368" S e -56°45'37,852" W**; deste segue, com azimute de 93°12'19" por uma distância de 17,41m até o vértice **-M-0099**, de coordenadas **-10°22'47,400" S e -56°45'37,280" W**; deste segue, com azimute de 93°12'19" por uma distância de 65,40m até o vértice **-M-0100**, de coordenadas **-10°22'47,517" S e -56°45'35,132" W**; deste segue, com azimute de 93°26'51" por uma distância de 55,00m até o vértice **-M-0101**, de coordenadas **-10°22'47,624" S e -56°45'33,327" W**; deste segue, com azimute de 100°37'10" por uma distância de 32,30m até o vértice **-M-0102**, de coordenadas **-10°22'47,817" S e -56°45'32,283" W**; deste segue, com azimute de 105°04'07" por uma distância de 17,81m até o vértice **-M-0103**, de coordenadas **-10°22'47,967" S e -56°45'31,717" W**; deste segue, com azimute de 108°26'06" por uma distância de 25,10m até o vértice **-M-0104**, de coordenadas **-10°22'48,225" S e -56°45'30,934" W**; deste segue, com azimute de 132°30'38" por uma distância de 21,54m até o vértice **-M-0105**, de coordenadas **-10°22'48,698" S e -56°45'30,411" W**; deste segue, com azimute de 115°06'53" por uma distância de 23,38m até o vértice **-M-0106**, de coordenadas **-10°22'49,021" S e -56°45'29,715" W**; deste segue, com azimute de 124°22'49" por uma distância de 45,68m até o vértice **-M-0107**, de coordenadas **-10°22'49,860" S e -56°45'28,474" W**; deste segue, com azimute de 83°09'26" por uma distância de 33,31m até o vértice **-M-0108**, de coordenadas **-10°22'49,730" S e -56°45'27,387" W**; deste segue, com azimute de 74°32'20" por uma distância de 32,26m até o vértice **-M-0109**, de coordenadas **-10°22'49,449" S e -56°45'26,364" W**; deste segue, com azimute de 66°22'13" por uma distância de 11,55m até o vértice **-M-0110**, de coordenadas **-10°22'49,298" S e -56°45'26,017" W**; deste segue, com azimute de 49°45'49" por uma distância de 11,26m até o vértice **-M-0111**, de coordenadas **-10°22'49,061" S e -56°45'25,734" W**; deste segue, com azimute de 45°00'00" por uma distância de 14,97m até o vértice **-M-0112**, de

Lido em 29 NOV 2022
Responsável

coordenadas **-10°22'48,716" S e -56°45'25,386" W**; deste segue, com azimute de 45°00'00" por uma distância de 13,10m até o vértice **-M-0113**, de coordenadas **-10°22'48,414" S e -56°45'25,082" W**; deste segue, com azimute de 39°24'02" por uma distância de 6,88m até o vértice **-M-0114**, de coordenadas **-10°22'48,241" S e -56°45'24,938" W**; deste segue, com azimute de 39°24'02" por uma distância de 17,09m até o vértice **-M-0115**, de coordenadas **-10°22'47,811" S e -56°45'24,582" W**; deste segue, com azimute de 85°01'49" por uma distância de 15,27m até o vértice **-M-0116**, de coordenadas **-10°22'47,767" S e -56°45'24,082" W**; deste segue, com azimute de 90°00'00" por uma distância de 27,78m até o vértice **-M-0117**, de coordenadas **-10°22'47,767" S e -56°45'23,168" W**; deste segue, com azimute de 98°07'48" por uma distância de 18,71m até o vértice **-M-0118**, de coordenadas **-10°22'47,852" S e -56°45'22,559" W**; deste segue, com azimute de 90°00'00" por uma distância de 22,49m até o vértice **-M-0119**, de coordenadas **-10°22'47,852" S e -56°45'21,819" W**; deste segue, com azimute de 88°27'07" por uma distância de 24,48m até o vértice **-M-0120**, de coordenadas **-10°22'47,830" S e -56°45'21,014" W**; deste segue, com azimute de 85°19'59" por uma distância de 32,52m até o vértice **-M-0121**, de coordenadas **-10°22'47,742" S e -56°45'19,949" W**; deste segue, com azimute de 84°05'39" por uma distância de 19,28m até o vértice **-M-0122**, de coordenadas **-10°22'47,678" S e -56°45'19,318" W**; deste segue, com azimute de 90°00'00" por uma distância de 42,33m até o vértice **-M-0123**, de coordenadas **-10°22'47,676" S e -56°45'17,926" W**; deste segue, com azimute de 105°56'44" por uma distância de 24,08m até o vértice **-M-0124**, de coordenadas **-10°22'47,891" S e -56°45'17,164" W**; deste segue, com azimute de 112°37'11" por uma distância de 25,80m até o vértice **-M-0125**, de coordenadas **-10°22'48,214" S e -56°45'16,381" W**; deste segue, com azimute de 108°26'05" por uma distância de 27,19m até o vértice **-M-0126**, de coordenadas **-10°22'48,493" S e -56°45'15,532" W**; deste segue, com azimute de 108°26'06" por uma distância de 25,10m até o vértice **-M-0127**, de coordenadas **-10°22'48,751" S e -56°45'14,749" W**; deste segue, com azimute de 126°52'13" por uma distância de 13,23m até o vértice **-M-0128**, de coordenadas **-10°22'49,009" S e -56°45'14,401" W**; deste segue, com azimute de 136°44'08" por uma distância de 15,44m até o vértice **-M-0129**, de coordenadas **-10°22'49,375" S e -56°45'14,052" W**; deste segue, com azimute de 129°33'35" por uma distância de 19,73m até o vértice **-M-0130**, de coordenadas **-10°22'49,784" S e -56°45'13,551" W**; deste segue, com azimute de 138°59'27" por uma distância de 20,16m até o vértice **-M-0131**, de coordenadas **-10°22'50,279" S e -56°45'13,116" W**; deste segue, com azimute de 131°45'37" por uma distância de 24,83m até o vértice **-M-0132**, de coordenadas **-10°22'50,817" S e -56°45'12,506" W**; deste segue, com azimute de 119°14'55" por uma distância de 18,95m até o vértice **-M-0133**, de coordenadas **-10°22'51,118" S e -56°45'11,963" W**; deste segue, com azimute de 117°49'27" por uma distância de 26,93m até o vértice **-M-0134**, de coordenadas **-10°22'51,526" S e -56°45'11,179" W**; deste segue, com azimute de 104°18'01" por uma distância de 34,81m até o vértice **-M-0135**, de coordenadas **-10°22'51,805" S e -56°45'10,069" W**; deste segue, com azimute de 113°33'08" por uma distância de 28,14m até o vértice **-M-0136**, de coordenadas **-10°22'52,171" S e -56°45'09,221" W**; deste segue, com azimute de 109°51'19" por uma distância de 25,32m até o vértice **-M-0137**, de coordenadas **-10°22'52,450" S e -56°45'08,437" W**; deste segue, com azimute de 100°07'29" por uma distância de 18,81m até o vértice **-M-0138**, de coordenadas **-10°22'52,558" S e -56°45'07,828" W**; deste segue, com azimute de 90°00'00" por uma distância de 13,23m até o vértice **-M-0139**, de coordenadas **-10°22'52,557" S e -56°45'07,393" W**; deste segue, com azimute de 77°54'19" por uma distância de 9,47m até o vértice **-M-0140**, de coordenadas **-10°22'52,492" S e -56°45'07,089" W**; deste segue, com azimute de 67°10'00" por uma distância de 13,64m até o vértice **-M-0141**, de coordenadas **-10°22'52,320" S e -56°45'06,675" W**; deste segue, com

Lido em 29 NOV 2022
Responsável

azimute de 31°45'34" por uma distância de 16,34m até o vértice **-M-0142**, de coordenadas **-10°22'51,867" S** e **-56°45'06,393" W**; deste segue, com azimute de 34°22'49" por uma distância de 15,23m até o vértice **-M-0143**, de coordenadas **-10°22'51,458" S** e **-56°45'06,110" W**; deste segue, com azimute de 33°41'24" por uma distância de 11,92m até o vértice **-M-0144**, de coordenadas **-10°22'51,134" S** e **-56°45'05,893" W**; deste segue, com azimute de 49°23'56" por uma distância de 12,20m até o vértice **-M-0145**, de coordenadas **-10°22'50,876" S** e **-56°45'05,589" W**; deste segue, com azimute de 49°53'56" por uma distância de 16,43m até o vértice **-M-0146**, de coordenadas **-10°22'50,531" S** e **-56°45'05,176" W**; deste segue, com azimute de 45°00'00" por uma distância de 10,29m até o vértice **-M-0147**, de coordenadas **-10°22'50,294" S** e **-56°45'04,937" W**; deste segue, com azimute de 49°45'49" por uma distância de 11,26m até o vértice **-M-0148**, de coordenadas **-10°22'50,057" S** e **-56°45'04,654" W**; deste segue, com azimute de 54°05'25" por uma distância de 15,21m até o vértice **-M-0149**, de coordenadas **-10°22'49,766" S** e **-56°45'04,249" W**; deste segue, com azimute de 54°05'25" por uma distância de 8,48m até o vértice **-M-0150**, de coordenadas **-10°22'49,604" S** e **-56°45'04,024" W**; deste segue, com azimute de 60°49'57" por uma distância de 32,57m até o vértice **-M-0151**, de coordenadas **-10°22'49,087" S** e **-56°45'03,089" W**; deste segue, com azimute de 71°33'55" por uma distância de 18,83m até o vértice **-M-0152**, de coordenadas **-10°22'48,892" S** e **-56°45'02,502" W**; deste segue, com azimute de 67°09'59" por uma distância de 13,64m até o vértice **-M-0153**, de coordenadas **-10°22'48,720" S** e **-56°45'02,088" W**; deste segue, com azimute de 88°55'08" por uma distância de 35,06m até o vértice **-M-0154**, de coordenadas **-10°22'48,697" S** e **-56°45'00,936" W**; deste segue, com azimute de 92°01'39" por uma distância de 74,79m até o vértice **-M-0155**, de coordenadas **-10°22'48,781" S** e **-56°44'58,477" W**; deste segue, com azimute de 91°24'39" por uma distância de 134,32m até o vértice **-M-0156**, de coordenadas **-10°22'48,885" S** e **-56°44'54,061" W**; deste segue, com azimute de 92°45'43" por uma distância de 82,25m até o vértice **-M-0157**, de coordenadas **-10°22'49,013" S** e **-56°44'51,359" W**; deste segue, com azimute de 92°45'44" por uma distância de 68,74m até o vértice **-M-0158**, de coordenadas **-10°22'49,119" S** e **-56°44'49,101" W**; deste segue, com azimute de 92°20'57" por uma distância de 129,09m até o vértice **-M-0159**, de coordenadas **-10°22'49,288" S** e **-56°44'44,859" W**; deste segue, com azimute de 91°44'28" por uma distância de 217,72m até o vértice **-M-0160**, de coordenadas **-10°22'49,497" S** e **-56°44'37,702" W**; deste segue, com azimute de 99°17'36" por uma distância de 36,86m até o vértice **-M-0161**, de coordenadas **-10°22'49,690" S** e **-56°44'36,506" W**; deste segue, com azimute de 111°48'05" por uma distância de 17,81m até o vértice **-M-0162**, de coordenadas **-10°22'49,905" S** e **-56°44'35,962" W**; deste segue, com azimute de 117°33'10" por uma distância de 17,16m até o vértice **-M-0163**, de coordenadas **-10°22'50,163" S** e **-56°44'35,461" W**; deste segue, com azimute de 95°35'58" por uma distância de 33,90m até o vértice **-M-0164**, de coordenadas **-10°22'50,270" S** e **-56°44'34,352" W**; deste segue, com azimute de 98°07'49" por uma distância de 18,71m até o vértice **-M-0165**, de coordenadas **-10°22'50,355" S** e **-56°44'33,743" W**; deste segue, com azimute de 79°41'42" por uma distância de 22,19m até o vértice **-M-0166**, de coordenadas **-10°22'50,226" S** e **-56°44'33,025" W**; deste segue, com azimute de 90°00'00" por uma distância de 16,54m até o vértice **-M-0167**, de coordenadas **-10°22'50,225" S** e **-56°44'32,481" W**; deste segue, com azimute de 110°33'23" por uma distância de 16,95m até o vértice **-M-0168**, de coordenadas **-10°22'50,419" S** e **-56°44'31,959" W**; deste segue, com azimute de 109°47'56" por uma distância de 17,58m até o vértice **-M-0169**, de coordenadas **-10°22'50,612" S** e **-56°44'31,415" W**; deste segue, com azimute de 114°37'25" por uma distância de 17,46m até o vértice **-M-0170**, de coordenadas **-10°22'50,849" S** e **-56°44'30,893" W**; deste segue, com azimute de 87°08'15" por uma distância de 13,25m até o

Lido em _____
29 NOV 2022
Responsável _____

vértice **-M-0171**, de coordenadas **-10°22'50,827" S** e **-56°44'30,457" W**; deste segue, com azimute de **79°12'57"** por uma distância de **14,14m** até o vértice **-M-0172**, de coordenadas **-10°22'50,740" S** e **-56°44'30,001" W**; deste segue, com azimute de **76°30'15"** por uma distância de **17,01m** até o vértice **-M-0173**, de coordenadas **-10°22'50,610" S** e **-56°44'29,457" W**; deste segue, com azimute de **82°24'20"** por uma distância de **20,02m** até o vértice **-M-0174**, de coordenadas **-10°22'50,524" S** e **-56°44'28,804" W**; deste segue, com azimute de **74°03'16"** por uma distância de **3,84m** até o vértice **-M-0175**, de coordenadas **-10°22'50,489" S** e **-56°44'28,683" W**; deste segue, com azimute de **74°03'16"** por uma distância de **10,61m** até o vértice **-M-0176**, de coordenadas **-10°22'50,394" S** e **-56°44'28,348" W**; deste segue, com azimute de **72°38'46"** por uma distância de **33,26m** até o vértice **-M-0177**, de coordenadas **-10°22'50,070" S** e **-56°44'27,304" W**; deste segue, com azimute de **88°17'25"** por uma distância de **44,34m** até o vértice **-M-0178**, de coordenadas **-10°22'50,026" S** e **-56°44'25,846" W**; deste segue, com azimute de **94°06'54"** por uma distância de **92,18m** até o vértice **-M-0179**, de coordenadas **-10°22'50,239" S** e **-56°44'22,823" W**; deste segue, com azimute de **92°41'39"** por uma distância de **168,86m** até o vértice **-M-0180**, de coordenadas **-10°22'50,493" S** e **-56°44'17,275" W**; deste segue, com azimute de **92°32'41"** por uma distância de **119,18m** até o vértice **-M-0181**, de coordenadas **-10°22'50,662" S** e **-56°44'13,360" W**; deste segue, com azimute de **92°02'43"** por uma distância de **37,07m** até o vértice **-M-0182**, de coordenadas **-10°22'50,704" S** e **-56°44'12,141" W**; deste segue, com azimute de **90°50'33"** por uma distância de **44,98m** até o vértice **-M-0183**, de coordenadas **-10°22'50,724" S** e **-56°44'10,662" W**; deste segue, com azimute de **90°00'00"** por uma distância de **41,01m** até o vértice **-M-0184**, de coordenadas **-10°22'50,723" S** e **-56°44'09,313" W**; deste segue, com azimute de **91°29'16"** por uma distância de **50,95m** até o vértice **-M-0185**, de coordenadas **-10°22'50,765" S** e **-56°44'07,638" W**; deste segue, com azimute de **97°58'10"** por uma distância de **33,40m** até o vértice **-M-0186**, de coordenadas **-10°22'50,915" S** e **-56°44'06,551" W**; deste segue, com azimute de **90°00'00"** por uma distância de **40,35m** até o vértice **-M-0187**, de coordenadas **-10°22'50,914" S** e **-56°44'05,224" W**; deste segue, com azimute de **90°00'00"** por uma distância de **26,46m** até o vértice **-M-0188**, de coordenadas **-10°22'50,913" S** e **-56°44'04,354" W**; deste segue, com azimute de **88°18'55"** por uma distância de **22,50m** até o vértice **-M-0189**, de coordenadas **-10°22'50,891" S** e **-56°44'03,614" W**; deste segue, com azimute de **80°32'16"** por uma distância de **20,12m** até o vértice **-M-0190**, de coordenadas **-10°22'50,783" S** e **-56°44'02,962" W**; deste segue, com azimute de **73°00'34"** por uma distância de **24,90m** até o vértice **-M-0191**, de coordenadas **-10°22'50,545" S** e **-56°44'02,178" W**; deste segue, com azimute de **109°01'32"** por uma distância de **20,29m** até o vértice **-M-0192**, de coordenadas **-10°22'50,760" S** e **-56°44'01,547" W**; deste segue, com azimute de **107°01'14"** por uma distância de **33,90m** até o vértice **-M-0193**, de coordenadas **-10°22'51,082" S** e **-56°44'00,481" W**; deste segue, com azimute de **128°22'03"** por uma distância de **40,50m** até o vértice **-M-0194**, de coordenadas **-10°22'51,900" S** e **-56°43'59,436" W**; deste segue, com azimute de **122°35'34"** por uma distância de **47,89m** até o vértice **-M-0195**, de coordenadas **-10°22'52,739" S** e **-56°43'58,109" W**; deste segue, com azimute de **119°37'25"** por uma distância de **33,17m** até o vértice **-M-0196**, de coordenadas **-10°22'53,271" S** e **-56°43'57,160" W**; deste segue, com azimute de **119°37'25"** por uma distância de **5,64m** até o vértice **-M-0197**, de coordenadas **-10°22'53,362" S** e **-56°43'56,999" W**; deste segue, com azimute de **112°22'48"** por uma distância de **24,32m** até o vértice **-M-0198**, de coordenadas **-10°22'53,663" S** e **-56°43'56,259" W**; deste segue, com azimute de **88°27'07"** por uma distância de **24,48m** até o vértice **-M-0199**, de coordenadas **-10°22'53,641" S** e **-56°43'55,454" W**; deste segue, com azimute de **88°49'51"** por uma distância de **32,42m** até o vértice **-M-0200**, de coordenadas **-10°22'53,619" S** e **-56°43'54,388"**

Lido em 29 NOV 2022
Responsável

W; deste segue, com azimute de $99^{\circ}14'46''$ por uma distância de 28,82m até o vértice **-M-0201**, de coordenadas $-10^{\circ}22'53,769''$ S e $-56^{\circ}43'53,453''$ W; deste segue, com azimute de $111^{\circ}22'15''$ por uma distância de 16,34m até o vértice **-M-0202**, de coordenadas $-10^{\circ}22'53,962''$ S e $-56^{\circ}43'52,952''$ W; deste segue, com azimute de $110^{\circ}51'16''$ por uma distância de 29,73m até o vértice **-M-0203**, de coordenadas $-10^{\circ}22'54,306''$ S e $-56^{\circ}43'52,038''$ W; deste segue, com azimute de $110^{\circ}51'16''$ por uma distância de 44,59m até o vértice **-M-0204**, de coordenadas $-10^{\circ}22'54,821''$ S e $-56^{\circ}43'50,667''$ W; deste segue, com azimute de $116^{\circ}10'31''$ por uma distância de 43,49m até o vértice **-M-0205**, de coordenadas $-10^{\circ}22'55,445''$ S e $-56^{\circ}43'49,384''$ W; deste segue, com azimute de $90^{\circ}00'00''$ por uma distância de 24,47m até o vértice **-M-0206**, de coordenadas $-10^{\circ}22'55,444''$ S e $-56^{\circ}43'48,578''$ W; deste segue, com azimute de $79^{\circ}17'13''$ por uma distância de 24,91m até o vértice **-M-0207**, de coordenadas $-10^{\circ}22'55,293''$ S e $-56^{\circ}43'47,774''$ W; deste segue, com azimute de $84^{\circ}48'20''$ por uma distância de 21,92m até o vértice **-M-0208**, de coordenadas $-10^{\circ}22'55,228''$ S e $-56^{\circ}43'47,056''$ W; deste segue, com azimute de $72^{\circ}28'28''$ por uma distância de 39,54m até o vértice **-M-0209**, de coordenadas $-10^{\circ}22'54,839''$ S e $-56^{\circ}43'45,816''$ W; deste segue, com azimute de $71^{\circ}13'19''$ por uma distância de 34,93m até o vértice **-M-0210**, de coordenadas $-10^{\circ}22'54,472''$ S e $-56^{\circ}43'44,729''$ W; deste segue, com azimute de $77^{\circ}41'31''$ por uma distância de 37,24m até o vértice **-M-0211**, de coordenadas $-10^{\circ}22'54,212''$ S e $-56^{\circ}43'43,533''$ W; deste segue, com azimute de $60^{\circ}42'31''$ por uma distância de 31,10m até o vértice **-M-0212**, de coordenadas $-10^{\circ}22'53,716''$ S e $-56^{\circ}43'42,641''$ W; deste segue, com azimute de $55^{\circ}55'22''$ por uma distância de 27,15m até o vértice **-M-0213**, de coordenadas $-10^{\circ}22'53,220''$ S e $-56^{\circ}43'41,902''$ W; deste segue, com azimute de $48^{\circ}48'51''$ por uma distância de 21,09m até o vértice **-M-0214**, de coordenadas $-10^{\circ}22'52,768''$ S e $-56^{\circ}43'41,381''$ W; deste segue, com azimute de $60^{\circ}34'21''$ por uma distância de 29,62m até o vértice **-M-0215**, de coordenadas $-10^{\circ}22'52,293''$ S e $-56^{\circ}43'40,532''$ W; deste segue, com azimute de $66^{\circ}34'17''$ por uma distância de 21,63m até o vértice **-M-0216**, de coordenadas $-10^{\circ}22'52,013''$ S e $-56^{\circ}43'39,880''$ W; deste segue, com azimute de $78^{\circ}29'10''$ por uma distância de 36,43m até o vértice **-M-0217**, de coordenadas $-10^{\circ}22'51,775''$ S e $-56^{\circ}43'38,706''$ W; deste segue, com azimute de $78^{\circ}29'10''$ por uma distância de 0,02m até o vértice **-M-0218**, de coordenadas $-10^{\circ}22'51,775''$ S e $-56^{\circ}43'38,706''$ W; deste segue, com azimute de $91^{\circ}58'30''$ por uma distância de 38,39m até o vértice **-M-0219**, de coordenadas $-10^{\circ}22'51,817''$ S e $-56^{\circ}43'37,444''$ W; deste segue, com azimute de $91^{\circ}56'59''$ por uma distância de 155,53m até o vértice **-M-0220**, de coordenadas $-10^{\circ}22'51,985''$ S e $-56^{\circ}43'32,332''$ W; deste segue, com azimute de $122^{\circ}00'19''$ por uma distância de 18,72m até o vértice **-M-0221**, de coordenadas $-10^{\circ}22'52,307''$ S e $-56^{\circ}43'31,810''$ W; deste segue, com azimute de $137^{\circ}43'35''$ por uma distância de 9,83m até o vértice **-M-0222**, de coordenadas $-10^{\circ}22'52,544''$ S e $-56^{\circ}43'31,592''$ W; deste segue, com azimute de $93^{\circ}10'46''$ por uma distância de 11,92m até o vértice **-M-0223**, de coordenadas $-10^{\circ}22'52,565''$ S e $-56^{\circ}43'31,200''$ W; deste segue, com azimute de $76^{\circ}36'27''$ por uma distância de 14,28m até o vértice **-M-0224**, de coordenadas $-10^{\circ}22'52,457''$ S e $-56^{\circ}43'30,744''$ W; deste segue, com azimute de $63^{\circ}26'07''$ por uma distância de 11,83m até o vértice **-M-0225**, de coordenadas $-10^{\circ}22'52,284''$ S e $-56^{\circ}43'30,395''$ W; deste segue, com azimute de $73^{\circ}04'21''$ por uma distância de 15,90m até o vértice **-M-0226**, de coordenadas $-10^{\circ}22'52,133''$ S e $-56^{\circ}43'29,895''$ W; deste segue, com azimute de $90^{\circ}00'00''$ por uma distância de 25,14m até o vértice **-M-0227**, de coordenadas $-10^{\circ}22'52,133''$ S e $-56^{\circ}43'29,069''$ W; deste segue, com azimute de $91^{\circ}13'08''$ por uma distância de 93,29m até o vértice **-M-0228**, de coordenadas $-10^{\circ}22'52,194''$ S e $-56^{\circ}43'26,002''$ W; deste segue, com azimute de $93^{\circ}38'46''$ por uma distância de 34,07m até o vértice **-M-0229**, de coordenadas $-10^{\circ}22'52,264''$ S e $-56^{\circ}43'24,883''$ W; deste segue, com azimute de $93^{\circ}38'47''$ por uma distância de

Lido em 29 NOV 2022
Responsável

101,14m até o vértice **-M-0230**, de coordenadas **-10°22'52,471" S** e **-56°43'21,564" W**; deste segue, com azimute de 92°25'10" por uma distância de 141,02m até o vértice **-M-0231**, de coordenadas **-10°22'52,660" S** e **-56°43'16,930" W**; deste segue, com azimute de 92°09'03" por uma distância de 140,99m até o vértice **-M-0232**, de coordenadas **-10°22'52,829" S** e **-56°43'12,296" W**; deste segue, com azimute de 93°12'19" por uma distância de 82,81m até o vértice **-M-0233**, de coordenadas **-10°22'52,977" S** e **-56°43'09,577" W**; deste segue, com azimute de 92°05'43" por uma distância de 108,55m até o vértice **-M-0234**, de coordenadas **-10°22'53,103" S** e **-56°43'06,010" W**; deste segue, com azimute de 91°11'37" por uma distância de 63,51m até o vértice **-M-0235**, de coordenadas **-10°22'53,145" S** e **-56°43'03,921" W**; deste segue, com azimute de 77°11'45" por uma distância de 44,77m até o vértice **-M-0236**, de coordenadas **-10°22'52,820" S** e **-56°43'02,486" W**; deste segue, com azimute de 61°52'35" por uma distância de 43,50m até o vértice **-M-0237**, de coordenadas **-10°22'52,151" S** e **-56°43'01,224" W**; deste segue, com azimute de 78°41'24" por uma distância de 53,96m até o vértice **-M-0238**, de coordenadas **-10°22'51,805" S** e **-56°42'59,485" W**; deste segue, com azimute de 95°17'24" por uma distância de 35,87m até o vértice **-M-0239**, de coordenadas **-10°22'51,912" S** e **-56°42'58,310" W**; deste segue, com azimute de 106°20'10" por uma distância de 39,98m até o vértice **-M-0240**, de coordenadas **-10°22'52,277" S** e **-56°42'57,048" W**; deste segue, com azimute de 109°01'32" por uma distância de 40,58m até o vértice **-M-0241**, de coordenadas **-10°22'52,707" S** e **-56°42'55,786" W**; deste segue, com azimute de 116°33'54" por uma distância de 38,46m até o vértice **-M-0242**, de coordenadas **-10°22'53,266" S** e **-56°42'54,654" W**; deste segue, com azimute de 94°51'52" por uma distância de 31,20m até o vértice **-M-0243**, de coordenadas **-10°22'53,351" S** e **-56°42'53,632" W**; deste segue, com azimute de 103°19'29" por uma distância de 25,83m até o vértice **-M-0244**, de coordenadas **-10°22'53,544" S** e **-56°42'52,805" W**; deste segue, com azimute de 94°45'49" por uma distância de 31,86m até o vértice **-M-0245**, de coordenadas **-10°22'53,629" S** e **-56°42'51,761" W**; deste segue, com azimute de 90°00'00" por uma distância de 54,24m até o vértice **-M-0246**, de coordenadas **-10°22'53,627" S** e **-56°42'49,977" W**; deste segue, com azimute de 92°46'59" por uma distância de 18,00m até o vértice **-M-0247**, de coordenadas **-10°22'53,656" S** e **-56°42'49,385" W**; deste segue, com azimute de 92°46'59" por uma distância de 77,36m até o vértice **-M-0248**, de coordenadas **-10°22'53,775" S** e **-56°42'46,844" W**; deste segue, com azimute de 92°20'43" por uma distância de 193,97m até o vértice **-M-0249**, de coordenadas **-10°22'54,028" S** e **-56°42'40,470" W**; deste segue, com azimute de 91°39'08" por uma distância de 137,64m até o vértice **-M-0250**, de coordenadas **-10°22'54,153" S** e **-56°42'35,945" W**; deste segue, com azimute de 94°07'20" por uma distância de 147,22m até o vértice **-M-0251**, de coordenadas **-10°22'54,493" S** e **-56°42'31,116" W**; deste segue, com azimute de 91°26'21" por uma distância de 131,67m até o vértice **-M-0252**, de coordenadas **-10°22'54,597" S** e **-56°42'26,787" W**; deste segue, com azimute de 96°53'33" por uma distância de 60,63m até o vértice **-M-0253**, de coordenadas **-10°22'54,832" S** e **-56°42'24,807" W**; deste segue, com azimute de 111°48'05" por uma distância de 24,93m até o vértice **-M-0254**, de coordenadas **-10°22'55,133" S** e **-56°42'24,045" W**; deste segue, com azimute de 90°54'34" por uma distância de 41,68m até o vértice **-M-0255**, de coordenadas **-10°22'55,154" S** e **-56°42'22,675" W**; deste segue, com azimute de 73°23'35" por uma distância de 39,34m até o vértice **-M-0256**, de coordenadas **-10°22'54,786" S** e **-56°42'21,436" W**; deste segue, com azimute de 94°11'51" por uma distância de 72,29m até o vértice **-M-0257**, de coordenadas **-10°22'54,956" S** e **-56°42'19,064" W**; deste segue, com azimute de 93°21'05" por uma distância de 147,10m até o vértice **-M-0258**, de coordenadas **-10°22'55,232" S** e **-56°42'14,235" W**; deste segue, com azimute de 90°59'28" por uma distância de 116,84m até o vértice **-M-0259**, de coordenadas **-10°22'55,294" S** e

Responsável

Lido em

10 JUN 2002

-56°42'10,393" W; deste segue, com azimute de 90°59'29" por uma distância de 74,35m até o vértice **-M-0260**, de coordenadas **-10°22'55,334" S** e **-56°42'07,948" W**; deste segue, com azimute de 93°17'43" por uma distância de 133,92m até o vértice **-M-0261**, de coordenadas **-10°22'55,580" S** e **-56°42'03,551" W**; deste segue, com azimute de 93°17'43" por uma distância de 84,72m até o vértice **-M-0262**, de coordenadas **-10°22'55,736" S** e **-56°42'00,769" W**; deste segue, com azimute de 92°25'10" por uma distância de 188,02m até o vértice **-M-0263**, de coordenadas **-10°22'55,989" S** e **-56°41'54,591" W**; deste segue, com azimute de 94°03'24" por uma distância de 187,00m até o vértice **-M-0264**, de coordenadas **-10°22'56,414" S** e **-56°41'48,456" W**; deste segue, com azimute de 92°01'09" por uma distância de 118,61m até o vértice **-M-0265**, de coordenadas **-10°22'56,546" S** e **-56°41'44,558" W**; deste segue, com azimute de 92°01'09" por uma distância de 87,89m até o vértice **-M-0266**, de coordenadas **-10°22'56,644" S** e **-56°41'41,669" W**; deste segue, com azimute de 92°59'59" por uma distância de 151,68m até o vértice **-M-0267**, de coordenadas **-10°22'56,898" S** e **-56°41'36,687" W**; deste segue, com azimute de 92°04'12" por uma distância de 121,80m até o vértice **-M-0268**, de coordenadas **-10°22'57,038" S** e **-56°41'32,684" W**; deste segue, com azimute de 92°04'13" por uma distância de 43,01m até o vértice **-M-0269**, de coordenadas **-10°22'57,087" S** e **-56°41'31,270" W**; deste segue, com azimute de 91°50'51" por uma distância de 61,55m até o vértice **-M-0270**, de coordenadas **-10°22'57,149" S** e **-56°41'29,247" W**; deste segue, com azimute de 92°52'28" por uma distância de 158,29m até o vértice **-M-0271**, de coordenadas **-10°22'57,403" S** e **-56°41'24,048" W**; deste segue, com azimute de 93°28'40" por uma distância de 119,95m até o vértice **-M-0272**, de coordenadas **-10°22'57,636" S** e **-56°41'20,110" W**; deste segue, com azimute de 91°20'41" por uma distância de 140,93m até o vértice **-M-0273**, de coordenadas **-10°22'57,739" S** e **-56°41'15,477" W**; deste segue, com azimute de 94°11'52" por uma distância de 72,29m até o vértice **-M-0274**, de coordenadas **-10°22'57,909" S** e **-56°41'13,105" W**; deste segue, com azimute de 92°41'02" por uma distância de 42,38m até o vértice **-M-0275**, de coordenadas **-10°22'57,972" S** e **-56°41'11,713" W**; deste segue, com azimute de 96°20'25" por uma distância de 17,97m até o vértice **-M-0276**, de coordenadas **-10°22'58,036" S** e **-56°41'11,126" W**; deste segue, com azimute de 106°11'21" por uma distância de 21,35m até o vértice **-M-0277**, de coordenadas **-10°22'58,230" S** e **-56°41'10,451" W**; deste segue, com azimute de 120°57'49" por uma distância de 11,57m até o vértice **-M-0278**, de coordenadas **-10°22'58,423" S** e **-56°41'10,125" W**; deste segue, com azimute de 135°00'00" por uma distância de 18,71m até o vértice **-M-0279**, de coordenadas **-10°22'58,853" S** e **-56°41'09,689" W**; deste segue, com azimute de 129°48'20" por uma distância de 20,66m até o vértice **-M-0280**, de coordenadas **-10°22'59,283" S** e **-56°41'09,167" W**; deste segue, com azimute de 138°34'35" por uma distância de 15,00m até o vértice **-M-0281**, de coordenadas **-10°22'59,649" S** e **-56°41'08,840" W**; deste segue, com azimute de 137°23'09" por uma distância de 22,47m até o vértice **-M-0282**, de coordenadas **-10°23'00,187" S** e **-56°41'08,339" W**; deste segue, com azimute de 151°30'16" por uma distância de 26,34m até o vértice **-M-0283**, de coordenadas **-10°23'00,941" S** e **-56°41'07,925" W**; deste segue, com azimute de 135°00'00" por uma distância de 29,93m até o vértice **-M-0284**, de coordenadas **-10°23'01,629" S** e **-56°41'07,228" W**; deste segue, com azimute de 135°47'05" por uma distância de 33,65m até o vértice **-M-0285**, de coordenadas **-10°23'02,414" S** e **-56°41'06,456" W**; deste segue, com azimute de 135°47'05" por uma distância de 0,49m até o vértice **-M-0286**, de coordenadas **-10°23'02,425" S** e **-56°41'06,444" W**; deste segue, com azimute de 138°10'48" por uma distância de 50,59m até o vértice **-M-0287**, de coordenadas **-10°23'03,652" S** e **-56°41'05,334" W**; deste segue, com azimute de 120°44'08" por uma distância de 28,47m até o vértice **-M-0288**, de coordenadas **-10°23'04,125" S** e **-56°41'04,528" W**; deste segue, com azimute de 87°57'17" por

Lido em 25 NOV. 2022
Responsável



uma distância de 18,53m até o vértice **-M-0289**, de coordenadas **-10°23'04,103" S e -56°41'03,919" W**; deste segue, com azimute de 83°28'48" por uma distância de 23,30m até o vértice **-M-0290**, de coordenadas **-10°23'04,016" S e -56°41'03,158" W**; deste segue, com azimute de 96°28'59" por uma distância de 29,29m até o vértice **-M-0291**, de coordenadas **-10°23'04,122" S e -56°41'02,201" W**; deste segue, com azimute de 102°54'27" por uma distância de 32,57m até o vértice **-M-0292**, de coordenadas **-10°23'04,358" S e -56°41'01,156" W**; deste segue, com azimute de 113°57'45" por uma distância de 26,06m até o vértice **-M-0293**, de coordenadas **-10°23'04,702" S e -56°41'00,373" W**; deste segue, com azimute de 131°11'09" por uma distância de 12,99m até o vértice **-M-0294**, de coordenadas **-10°23'04,980" S e -56°41'00,051" W**; deste segue, com azimute de 131°11'09" por uma distância de 15,13m até o vértice **-M-0295**, de coordenadas **-10°23'05,304" S e -56°40'59,676" W**; deste segue, com azimute de 136°54'33" por uma distância de 28,08m até o vértice **-M-0296**, de coordenadas **-10°23'05,972" S e -56°40'59,045" W**; deste segue, com azimute de 138°00'46" por uma distância de 26,70m até o vértice **-M-0297**, de coordenadas **-10°23'06,617" S e -56°40'58,457" W**; deste segue, com azimute de 133°55'08" por uma distância de 24,79m até o vértice **-M-0298**, de coordenadas **-10°23'07,176" S e -56°40'57,869" W**; deste segue, com azimute de 142°25'53" por uma distância de 21,70m até o vértice **-M-0299**, de coordenadas **-10°23'07,736" S e -56°40'57,433" W**; deste segue, com azimute de 106°23'22" por uma distância de 23,44m até o vértice **-M-0300**, de coordenadas **-10°23'07,951" S e -56°40'56,693" W**; deste segue, com azimute de 129°05'37" por uma distância de 13,64m até o vértice **-M-0301**, de coordenadas **-10°23'08,230" S e -56°40'56,345" W**; deste segue, com azimute de 107°44'41" por uma distância de 17,36m até o vértice **-M-0302**, de coordenadas **-10°23'08,402" S e -56°40'55,801" W**; deste segue, com azimute de 109°10'45" por uma distância de 16,11m até o vértice **-M-0303**, de coordenadas **-10°23'08,574" S e -56°40'55,300" W**; deste segue, com azimute de 112°28'46" por uma distância de 20,76m até o vértice **-M-0304**, de coordenadas **-10°23'08,832" S e -56°40'54,669" W**; deste segue, com azimute de 106°51'30" por uma distância de 22,81m até o vértice **-M-0305**, de coordenadas **-10°23'09,046" S e -56°40'53,951" W**; deste segue, com azimute de 109°47'56" por uma distância de 35,15m até o vértice **-M-0306**, de coordenadas **-10°23'09,433" S e -56°40'52,863" W**; deste segue, com azimute de 121°11'05" por uma distância de 29,38m até o vértice **-M-0307**, de coordenadas **-10°23'09,927" S e -56°40'52,036" W**; deste segue, com azimute de 118°20'45" por uma distância de 57,12m até o vértice **-M-0308**, de coordenadas **-10°23'10,809" S e -56°40'50,382" W**; deste segue, com azimute de 118°55'35" por uma distância de 28,72m até o vértice **-M-0309**, de coordenadas **-10°23'11,260" S e -56°40'49,555" W**; deste segue, com azimute de 110°25'59" por uma distância de 36,00m até o vértice **-M-0310**, de coordenadas **-10°23'11,668" S e -56°40'48,445" W**; deste segue, com azimute de 114°37'24" por uma distância de 15,01m até o vértice **-M-0311**, de coordenadas **-10°23'11,871" S e -56°40'47,996" W**; deste segue, com azimute de 114°37'24" por uma distância de 2,45m até o vértice **-M-0312**, de coordenadas **-10°23'11,905" S e -56°40'47,922" W**; deste segue, com azimute de 122°11'45" por uma distância de 21,10m até o vértice **-M-0313**, de coordenadas **-10°23'12,270" S e -56°40'47,335" W**; deste segue, com azimute de 107°55'40" por uma distância de 23,64m até o vértice **-M-0314**, de coordenadas **-10°23'12,506" S e -56°40'46,595" W**; deste segue, com azimute de 107°06'10" por uma distância de 26,99m até o vértice **-M-0315**, de coordenadas **-10°23'12,764" S e -56°40'45,746" W**; deste segue, com azimute de 105°42'32" por uma distância de 21,99m até o vértice **-M-0316**, de coordenadas **-10°23'12,957" S e -56°40'45,050" W**; deste segue, com azimute de 111°48'05" por uma distância de 17,81m até o vértice **-M-0317**, de coordenadas **-10°23'13,172" S e -56°40'44,506" W**; deste segue, com azimute de 102°48'15" por uma distância de 29,85m até o vértice **-M-0318**, de coordenadas -

Lido em 29 NOV 2022
Responsável

10°23'13,386" S e -56°40'43,549" W; deste segue, com azimute de 125°26'00" por uma distância de 17,20m até o vértice **-M-0319**, de coordenadas **-10°23'13,710" S e -56°40'43,087" W**; deste segue, com azimute de 125°26'00" por uma distância de 25,02m até o vértice **-M-0320**, de coordenadas **-10°23'14,182" S e -56°40'42,416" W**; deste segue, com azimute de 125°45'14" por uma distância de 40,75m até o vértice **-M-0321**, de coordenadas **-10°23'14,956" S e -56°40'41,328" W**; deste segue, com azimute de 131°18'31" por uma distância de 29,06m até o vértice **-M-0322**, de coordenadas **-10°23'15,580" S e -56°40'40,610" W**; deste segue, com azimute de 130°09'22" por uma distância de 27,69m até o vértice **-M-0323**, de coordenadas **-10°23'16,161" S e -56°40'39,913" W**; deste segue, com azimute de 126°28'10" por uma distância de 37,84m até o vértice **-M-0324**, de coordenadas **-10°23'16,892" S e -56°40'38,912" W**; deste segue, com azimute de 130°25'33" por uma distância de 23,46m até o vértice **-M-0325**, de coordenadas **-10°23'17,387" S e -56°40'38,324" W**; deste segue, com azimute de 158°40'56" por uma distância de 29,11m até o vértice **-M-0326**, de coordenadas **-10°23'18,269" S e -56°40'37,974" W**; deste segue, com azimute de 145°42'47" por uma distância de 17,61m até o vértice **-M-0327**, de coordenadas **-10°23'18,743" S e -56°40'37,648" W**; deste segue, com azimute de 129°48'20" por uma distância de 15,50m até o vértice **-M-0328**, de coordenadas **-10°23'19,065" S e -56°40'37,256" W**; deste segue, com azimute de 132°23'52" por uma distância de 20,60m até o vértice **-M-0329**, de coordenadas **-10°23'19,517" S e -56°40'36,755" W**; deste segue, com azimute de 112°31'14" por uma distância de 29,36m até o vértice **-M-0330**, de coordenadas **-10°23'19,883" S e -56°40'35,863" W**; deste segue, com azimute de 109°17'24" por uma distância de 14,02m até o vértice **-M-0331**, de coordenadas **-10°23'20,033" S e -56°40'35,427" W**; deste segue, com azimute de 100°18'17" por uma distância de 22,19m até o vértice **-M-0332**, de coordenadas **-10°23'20,161" S e -56°40'34,710" W**; deste segue, com azimute de 114°58'41" por uma distância de 23,50m até o vértice **-M-0333**, de coordenadas **-10°23'20,484" S e -56°40'34,009" W**; deste segue, com azimute de 71°12'01" por uma distância de 26,27m até o vértice **-M-0334**, de coordenadas **-10°23'20,207" S e -56°40'33,191" W**; deste segue, com azimute de 65°33'21" por uma distância de 12,79m até o vértice **-M-0335**, de coordenadas **-10°23'20,034" S e -56°40'32,808" W**; deste segue, com azimute de 59°28'13" por uma distância de 23,38m até o vértice **-M-0336**, de coordenadas **-10°23'19,647" S e -56°40'32,146" W**; deste segue, com azimute de 59°28'13" por uma distância de 0,58m até o vértice **-M-0337**, de coordenadas **-10°23'19,638" S e -56°40'32,130" W**; deste segue, com azimute de 57°35'16" por uma distância de 39,49m até o vértice **-M-0338**, de coordenadas **-10°23'18,947" S e -56°40'31,035" W**; deste segue, com azimute de 58°14'26" por uma distância de 13,07m até o vértice **-M-0339**, de coordenadas **-10°23'18,723" S e -56°40'30,669" W**; deste segue, com azimute de 52°48'55" por uma distância de 19,26m até o vértice **-M-0340**, de coordenadas **-10°23'18,343" S e -56°40'30,165" W**; deste segue, com azimute de 49°45'50" por uma distância de 9,01m até o vértice **-M-0341**, de coordenadas **-10°23'18,154" S e -56°40'29,939" W**; deste segue, com azimute de 49°11'06" por uma distância de 15,38m até o vértice **-M-0342**, de coordenadas **-10°23'17,826" S e -56°40'29,556" W**; deste segue, com azimute de 71°08'49" por uma distância de 22,93m até o vértice **-M-0343**, de coordenadas **-10°23'17,584" S e -56°40'28,843" W**; deste segue, com azimute de 55°47'03" por uma distância de 16,00m até o vértice **-M-0344**, de coordenadas **-10°23'17,290" S e -56°40'28,408" W**; deste segue, com azimute de 54°17'36" por uma distância de 20,85m até o vértice **-M-0345**, de coordenadas **-10°23'16,894" S e -56°40'27,852" W**; deste segue, com azimute de 29°03'16" por uma distância de 27,24m até o vértice **-M-0346**, de coordenadas **-10°23'16,118" S e -56°40'27,418" W**; deste segue, com azimute de 49°11'06" por uma distância de 15,38m até o vértice **-M-0347**, de coordenadas **-10°23'15,790" S e -56°40'27,035" W**; deste segue, com azimute de

Lido em 29 NOV 2022
Responsável



40°14'11" por uma distância de 18,02m até o vértice **-M-0348**, de coordenadas **-10°23'15,342" S e -56°40'26,653" W**; deste segue, com azimute de 44°59'59" por uma distância de 13,47m até o vértice **-M-0349**, de coordenadas **-10°23'15,031" S e -56°40'26,340" W**; deste segue, com azimute de 18°26'07" por uma distância de 13,39m até o vértice **-M-0350**, de coordenadas **-10°23'14,618" S e -56°40'26,201" W**; deste segue, com azimute de 355°54'51" por uma distância de 7,43m até o vértice **-M-0351**, de coordenadas **-10°23'14,377" S e -56°40'26,219" W**; deste segue, com azimute de 36°52'12" por uma distância de 7,94m até o vértice **-M-0352**, de coordenadas **-10°23'14,170" S e -56°40'26,062" W**; deste segue, com azimute de 47°29'21" por uma distância de 8,61m até o vértice **-M-0353**, de coordenadas **-10°23'13,980" S e -56°40'25,854" W**; deste segue, com azimute de 23°57'46" por uma distância de 10,42m até o vértice **-M-0354**, de coordenadas **-10°23'13,670" S e -56°40'25,715" W**; deste segue, com azimute de 41°38'00" por uma distância de 6,37m até o vértice **-M-0355**, de coordenadas **-10°23'13,515" S e -56°40'25,576" W**; deste segue, com azimute de 50°11'39" por uma distância de 16,53m até o vértice **-M-0356**, de coordenadas **-10°23'13,169" S e -56°40'25,158" W**; deste segue, com azimute de 40°06'03" por uma distância de 13,14m até o vértice **-M-0357**, de coordenadas **-10°23'12,842" S e -56°40'24,880" W**; deste segue, com azimute de 53°36'57" por uma distância de 12,49m até o vértice **-M-0358**, de coordenadas **-10°23'12,600" S e -56°40'24,550" W**; deste segue, com azimute de 51°20'25" por uma distância de 13,55m até o vértice **-M-0359**, de coordenadas **-10°23'12,324" S e -56°40'24,202" W**; deste segue, com azimute de 41°38'00" por uma distância de 6,37m até o vértice **-M-0360**, de coordenadas **-10°23'12,169" S e -56°40'24,063" W**; deste segue, com azimute de 45°00'00" por uma distância de 9,73m até o vértice **-M-0361**, de coordenadas **-10°23'11,945" S e -56°40'23,837" W**; deste segue, com azimute de 69°46'30" por uma distância de 10,71m até o vértice **-M-0362**, de coordenadas **-10°23'11,824" S e -56°40'23,506" W**; deste segue, com azimute de 71°33'55" por uma distância de 8,37m até o vértice **-M-0363**, de coordenadas **-10°23'11,737" S e -56°40'23,245" W**; deste segue, com azimute de 61°41'57" por uma distância de 7,81m até o vértice **-M-0364**, de coordenadas **-10°23'11,617" S e -56°40'23,019" W**; deste segue, com azimute de 59°02'10" por uma distância de 9,26m até o vértice **-M-0365**, de coordenadas **-10°23'11,462" S e -56°40'22,759" W**; deste segue, com azimute de 66°15'02" por uma distância de 14,45m até o vértice **-M-0366**, de coordenadas **-10°23'11,272" S e -56°40'22,324" W**; deste segue, com azimute de 48°34'34" por uma distância de 12,00m até o vértice **-M-0367**, de coordenadas **-10°23'11,013" S e -56°40'22,028" W**; deste segue, com azimute de 43°49'51" por uma distância de 18,34m até o vértice **-M-0368**, de coordenadas **-10°23'10,582" S e -56°40'21,611" W**; deste segue, com azimute de 37°14'05" por uma distância de 5,42m até o vértice **-M-0369**, de coordenadas **-10°23'10,441" S e -56°40'21,503" W**; deste segue, com azimute de 37°14'05" por uma distância de 11,19m até o vértice **-M-0370**, de coordenadas **-10°23'10,150" S e -56°40'21,281" W**; deste segue, com azimute de 53°28'16" por uma distância de 17,78m até o vértice **-M-0371**, de coordenadas **-10°23'09,806" S e -56°40'20,811" W**; deste segue, com azimute de 56°36'41" por uma distância de 27,89m até o vértice **-M-0372**, de coordenadas **-10°23'09,305" S e -56°40'20,046" W**; deste segue, com azimute de 77°28'16" por uma distância de 24,39m até o vértice **-M-0373**, de coordenadas **-10°23'09,132" S e -56°40'19,263" W**; deste segue, com azimute de 63°26'06" por uma distância de 7,10m até o vértice **-M-0374**, de coordenadas **-10°23'09,028" S e -56°40'19,054" W**; deste segue, com azimute de 34°41'42" por uma distância de 8,37m até o vértice **-M-0375**, de coordenadas **-10°23'08,804" S e -56°40'18,898" W**; deste segue, com azimute de 42°30'39" por uma distância de 8,61m até o vértice **-M-0376**, de coordenadas **-10°23'08,597" S e -56°40'18,707" W**; deste segue, com azimute de 3°21'58" por uma distância de 9,01m até o vértice **-M-0377**, de

Lido em 29 NOV 2022
Responsável



coordenadas **-10°23'08,304" S** e **-56°40'18,689" W**; deste segue, com azimute de 360°00'00" por uma distância de 12,17m até o vértice **-M-0378**, de coordenadas **-10°23'07,908" S** e **-56°40'18,690" W**; deste segue, com azimute de 360°00'00" por uma distância de 11,64m até o vértice **-M-0379**, de coordenadas **-10°23'07,529" S** e **-56°40'18,690" W**; deste segue, com azimute de 352°34'07" por uma distância de 12,27m até o vértice **-M-0380**, de coordenadas **-10°23'07,133" S** e **-56°40'18,743" W**; deste segue, com azimute de 348°41'25" por uma distância de 13,49m até o vértice **-M-0381**, de coordenadas **-10°23'06,702" S** e **-56°40'18,830" W**; deste segue, com azimute de 343°18'03" por uma distância de 11,05m até o vértice **-M-0382**, de coordenadas **-10°23'06,358" S** e **-56°40'18,935" W**; deste segue, com azimute de 339°08'43" por uma distância de 11,89m até o vértice **-M-0383**, de coordenadas **-10°23'05,996" S** e **-56°40'19,075" W**; deste segue, com azimute de 2°12'10" por uma distância de 13,77m até o vértice **-M-0384**, de coordenadas **-10°23'05,548" S** e **-56°40'19,058" W**; deste segue, com azimute de 8°25'38" por uma distância de 14,44m até o vértice **-M-0385**, de coordenadas **-10°23'05,083" S** e **-56°40'18,989" W**; deste segue, com azimute de 2°29'21" por uma distância de 12,18m até o vértice **-M-0386**, de coordenadas **-10°23'04,686" S** e **-56°40'18,972" W**; deste segue, com azimute de 10°53'09" por uma distância de 14,01m até o vértice **-M-0387**, de coordenadas **-10°23'04,238" S** e **-56°40'18,885" W**; deste segue, com azimute de 16°55'40" por uma distância de 12,72m até o vértice **-M-0388**, de coordenadas **-10°23'03,842" S** e **-56°40'18,764" W**; deste segue, com azimute de 19°26'24" por uma distância de 9,54m até o vértice **-M-0389**, de coordenadas **-10°23'03,549" S** e **-56°40'18,660" W**; deste segue, com azimute de 22°37'11" por uma distância de 6,88m até o vértice **-M-0390**, de coordenadas **-10°23'03,342" S** e **-56°40'18,573" W**; deste segue, com azimute de 35°13'04" por uma distância de 11,01m até o vértice **-M-0391**, de coordenadas **-10°23'03,049" S** e **-56°40'18,364" W**; deste segue, com azimute de 30°57'49" por uma distância de 6,17m até o vértice **-M-0392**, de coordenadas **-10°23'02,877" S** e **-56°40'18,260" W**; deste segue, com azimute de 58°34'13" por uma distância de 11,16m até o vértice **-M-0393**, de coordenadas **-10°23'02,687" S** e **-56°40'17,947" W**; deste segue, com azimute de 32°16'33" por uma distância de 11,89m até o vértice **-M-0394**, de coordenadas **-10°23'02,359" S** e **-56°40'17,739" W**; deste segue, com azimute de 42°42'34" por uma distância de 18,72m até o vértice **-M-0395**, de coordenadas **-10°23'01,911" S** e **-56°40'17,321" W**; deste segue, com azimute de 53°07'48" por uma distância de 13,23m até o vértice **-M-0396**, de coordenadas **-10°23'01,652" S** e **-56°40'16,973" W**; deste segue, com azimute de 51°20'25" por uma distância de 10,16m até o vértice **-M-0397**, de coordenadas **-10°23'01,445" S** e **-56°40'16,713" W**; deste segue, com azimute de 66°48'05" por uma distância de 20,15m até o vértice **-M-0398**, de coordenadas **-10°23'01,186" S** e **-56°40'16,104" W**; deste segue, com azimute de 67°53'26" por uma distância de 18,28m até o vértice **-M-0399**, de coordenadas **-10°23'00,961" S** e **-56°40'15,547" W**; deste segue, com azimute de 80°32'15" por uma distância de 12,88m até o vértice **-M-0400**, de coordenadas **-10°23'00,892" S** e **-56°40'15,130" W**; deste segue, com azimute de 92°51'45" por uma distância de 10,60m até o vértice **-M-0401**, de coordenadas **-10°23'00,909" S** e **-56°40'14,782" W**; deste segue, com azimute de 90°00'00" por uma distância de 17,46m até o vértice **-M-0402**, de coordenadas **-10°23'00,908" S** e **-56°40'14,207" W**; deste segue, com azimute de 90°00'00" por uma distância de 17,99m até o vértice **-M-0403**, de coordenadas **-10°23'00,908" S** e **-56°40'13,616" W**; deste segue, com azimute de 90°00'00" por uma distância de 16,93m até o vértice **-M-0404**, de coordenadas **-10°23'00,907" S** e **-56°40'13,059" W**; deste segue, com azimute de 92°29'22" por uma distância de 48,73m até o vértice **-M-0405**, de coordenadas **-10°23'00,974" S** e **-56°40'11,458" W**; deste segue, com azimute de 95°42'38" por uma distância de 42,54m até o vértice **-M-0406**, de coordenadas **-10°23'01,111" S** e **-56°40'10,065" W**; deste segue,

Lido em 29 NOV 2022
Responsável 



com azimute de $89^{\circ}20'02''$ por uma distância de 45,51m até o vértice **-M-0407**, de coordenadas $-10^{\circ}23'01,092''$ S e $-56^{\circ}40'08,569''$ W; deste segue, com azimute de $91^{\circ}32'53''$ por uma distância de 58,76m até o vértice **-M-0408**, de coordenadas $-10^{\circ}23'01,142''$ S e $-56^{\circ}40'06,637''$ W; deste segue, com azimute de $63^{\circ}26'05''$ por uma distância de 15,38m até o vértice **-M-0409**, de coordenadas $-10^{\circ}23'00,917''$ S e $-56^{\circ}40'06,185''$ W; deste segue, com azimute de $40^{\circ}25'34''$ por uma distância de 18,77m até o vértice **-M-0410**, de coordenadas $-10^{\circ}23'00,452''$ S e $-56^{\circ}40'05,785''$ W; deste segue, com azimute de $45^{\circ}51'19''$ por uma distância de 25,07m até o vértice **-M-0411**, de coordenadas $-10^{\circ}22'59,882''$ S e $-56^{\circ}40'05,194''$ W; deste segue, com azimute de $34^{\circ}12'56''$ por uma distância de 16,00m até o vértice **-M-0412**, de coordenadas $-10^{\circ}22'59,452''$ S e $-56^{\circ}40'04,898''$ W; deste segue, com azimute de $52^{\circ}18'20''$ por uma distância de 14,71m até o vértice **-M-0413**, de coordenadas $-10^{\circ}22'59,158''$ S e $-56^{\circ}40'04,516''$ W; deste segue, com azimute de $35^{\circ}47'20''$ por uma distância de 28,05m até o vértice **-M-0414**, de coordenadas $-10^{\circ}22'58,417''$ S e $-56^{\circ}40'03,977''$ W; deste segue, com azimute de $66^{\circ}15'02''$ por uma distância de 14,45m até o vértice **-M-0415**, de coordenadas $-10^{\circ}22'58,227''$ S e $-56^{\circ}40'03,542''$ W; deste segue, com azimute de $105^{\circ}04'05''$ por uma distância de 14,25m até o vértice **-M-0416**, de coordenadas $-10^{\circ}22'58,347''$ S e $-56^{\circ}40'03,090''$ W; deste segue, com azimute de $108^{\circ}55'30''$ por uma distância de 19,58m até o vértice **-M-0417**, de coordenadas $-10^{\circ}22'58,553''$ S e $-56^{\circ}40'02,481''$ W; deste segue, com azimute de $110^{\circ}33'21''$ por uma distância de 27,13m até o vértice **-M-0418**, de coordenadas $-10^{\circ}22'58,862''$ S e $-56^{\circ}40'01,645''$ W; deste segue, com azimute de $107^{\circ}41'04''$ por uma distância de 38,32m até o vértice **-M-0419**, de coordenadas $-10^{\circ}22'59,240''$ S e $-56^{\circ}40'00,443''$ W; deste segue, com azimute de $105^{\circ}11'09''$ por uma distância de 38,38m até o vértice **-M-0420**, de coordenadas $-10^{\circ}22'59,566''$ S e $-56^{\circ}39'59,225''$ W; deste segue, com azimute de $126^{\circ}52'12''$ por uma distância de 23,81m até o vértice **-M-0421**, de coordenadas $-10^{\circ}23'00,031''$ S e $-56^{\circ}39'58,598''$ W; deste segue, com azimute de $131^{\circ}55'21''$ por uma distância de 34,85m até o vértice **-M-0422**, de coordenadas $-10^{\circ}23'00,788''$ S e $-56^{\circ}39'57,744''$ W; deste segue, com azimute de $129^{\circ}10'25''$ por uma distância de 36,86m até o vértice **-M-0423**, de coordenadas $-10^{\circ}23'01,545''$ S e $-56^{\circ}39'56,804''$ W; deste segue, com azimute de $110^{\circ}51'16''$ por uma distância de 23,78m até o vértice **-M-0424**, de coordenadas $-10^{\circ}23'01,820''$ S e $-56^{\circ}39'56,073''$ W; deste segue, com azimute de $97^{\circ}11'57''$ por uma distância de 46,08m até o vértice **-M-0425**, de coordenadas $-10^{\circ}23'02,006''$ S e $-56^{\circ}39'54,569''$ W; deste segue, com azimute de $97^{\circ}11'57''$ por uma distância de 4,59m até o vértice **-M-0426**, de coordenadas $-10^{\circ}23'02,025''$ S e $-56^{\circ}39'54,419''$ W; deste segue, com azimute de $88^{\circ}49'51''$ por uma distância de 51,87m até o vértice **-M-0427**, de coordenadas $-10^{\circ}23'01,989''$ S e $-56^{\circ}39'52,714''$ W; deste segue, com azimute de $88^{\circ}00'49''$ por uma distância de 91,60m até o vértice **-M-0428**, de coordenadas $-10^{\circ}23'01,882''$ S e $-56^{\circ}39'49,703''$ W; deste segue, com azimute de $94^{\circ}30'50''$ por uma distância de 26,56m até o vértice **-M-0429**, de coordenadas $-10^{\circ}23'01,949''$ S e $-56^{\circ}39'48,833''$ W; deste segue, com azimute de $94^{\circ}30'50''$ por uma distância de 54,13m até o vértice **-M-0430**, de coordenadas $-10^{\circ}23'02,086''$ S e $-56^{\circ}39'47,058''$ W; deste segue, com azimute de $94^{\circ}55'00''$ por uma distância de 49,39m até o vértice **-M-0431**, de coordenadas $-10^{\circ}23'02,222''$ S e $-56^{\circ}39'45,439''$ W; deste segue, com azimute de $85^{\circ}54'52''$ por uma distância de 22,28m até o vértice **-M-0432**, de coordenadas $-10^{\circ}23'02,170''$ S e $-56^{\circ}39'44,709''$ W; deste segue, com azimute de $72^{\circ}07'16''$ por uma distância de 17,24m até o vértice **-M-0433**, de coordenadas $-10^{\circ}23'01,997''$ S e $-56^{\circ}39'44,169''$ W; deste segue, com azimute de $62^{\circ}26'50''$ por uma distância de 13,73m até o vértice **-M-0434**, de coordenadas $-10^{\circ}23'01,790''$ S e $-56^{\circ}39'43,769''$ W; deste segue, com azimute de $66^{\circ}48'04''$ por uma distância de 16,12m até o vértice **-M-0435**, de coordenadas $-10^{\circ}23'01,583''$ S e $-56^{\circ}39'43,282''$ W; deste segue, com azimute de $68^{\circ}50'20''$ por uma distância de 17,59m até o

Lido em 29/NOV/2022
Responsável

vértice **-M-0436**, de coordenadas **-10°23'01,375" S** e **-56°39'42,743" W**; deste segue, com azimute de **72°43'07"** por uma distância de **24,94m** até o vértice **-M-0437**, de coordenadas **-10°23'01,133" S** e **-56°39'41,960" W**; deste segue, com azimute de **107°52'44"** por uma distância de **17,24m** até o vértice **-M-0438**, de coordenadas **-10°23'01,305" S** e **-56°39'41,420" W**; deste segue, com azimute de **109°32'11"** por uma distância de **17,41m** até o vértice **-M-0439**, de coordenadas **-10°23'01,494" S** e **-56°39'40,881" W**; deste segue, com azimute de **121°19'44"** por uma distância de **14,25m** até o vértice **-M-0440**, de coordenadas **-10°23'01,735" S** e **-56°39'40,480" W**; deste segue, com azimute de **134°59'59"** por uma distância de **12,72m** até o vértice **-M-0441**, de coordenadas **-10°23'02,027" S** e **-56°39'40,184" W**; deste segue, com azimute de **131°49'13"** por uma distância de **13,49m** até o vértice **-M-0442**, de coordenadas **-10°23'02,320" S** e **-56°39'39,853" W**; deste segue, com azimute de **113°57'44"** por uma distância de **20,85m** até o vértice **-M-0443**, de coordenadas **-10°23'02,595" S** e **-56°39'39,226" W**; deste segue, com azimute de **91°18'07"** por uma distância de **69,87m** até o vértice **-M-0444**, de coordenadas **-10°23'02,644" S** e **-56°39'36,929" W**; deste segue, com azimute de **92°11'36"** por uma distância de **124,45m** até o vértice **-M-0445**, de coordenadas **-10°23'02,795" S** e **-56°39'32,839" W**; deste segue, com azimute de **90°00'00"** por uma distância de **46,57m** até o vértice **-M-0446**, de coordenadas **-10°23'02,793" S** e **-56°39'31,308" W**; deste segue, com azimute de **96°29'58"** por uma distância de **42,07m** até o vértice **-M-0447**, de coordenadas **-10°23'02,947" S** e **-56°39'29,933" W**; deste segue, com azimute de **92°35'04"** por uma distância de **152,56m** até o vértice **-M-0448**, de coordenadas **-10°23'03,165" S** e **-56°39'24,920" W**; deste segue, com azimute de **93°15'07"** por uma distância de **186,57m** até o vértice **-M-0449**, de coordenadas **-10°23'03,504" S** e **-56°39'18,794" W**; deste segue, com azimute de **92°50'09"** por uma distância de **104,22m** até o vértice **-M-0450**, de coordenadas **-10°23'03,668" S** e **-56°39'15,371" W**; deste segue, com azimute de **92°50'09"** por uma distância de **66,91m** até o vértice **-M-0451**, de coordenadas **-10°23'03,773" S** e **-56°39'13,173" W**; deste segue, com azimute de **91°50'21"** por uma distância de **115,42m** até o vértice **-M-0452**, de coordenadas **-10°23'03,890" S** e **-56°39'09,379" W**; deste segue, com azimute de **93°18'24"** por uma distância de **10,89m** até o vértice **-M-0453**, de coordenadas **-10°23'03,910" S** e **-56°39'09,022" W**; deste segue, com azimute de **93°18'24"** por uma distância de **108,37m** até o vértice **-M-0454**, de coordenadas **-10°23'04,109" S** e **-56°39'05,463" W**; deste segue, com azimute de **88°34'05"** por uma distância de **84,69m** até o vértice **-M-0455**, de coordenadas **-10°23'04,037" S** e **-56°39'02,679" W**; deste segue, com azimute de **96°48'04"** por uma distância de **58,09m** até o vértice **-M-0456**, de coordenadas **-10°23'04,259" S** e **-56°39'00,782" W**; deste segue, com azimute de **93°51'13"** por uma distância de **102,36m** até o vértice **-M-0457**, de coordenadas **-10°23'04,480" S** e **-56°38'57,423" W**; deste segue, com azimute de **91°29'16"** por uma distância de **122,28m** até o vértice **-M-0458**, de coordenadas **-10°23'04,578" S** e **-56°38'53,403" W**; deste segue, com azimute de **91°59'52"** por uma distância de **46,76m** até o vértice **-M-0459**, de coordenadas **-10°23'04,630" S** e **-56°38'51,866" W**; deste segue, com azimute de **91°59'52"** por uma distância de **44,31m** até o vértice **-M-0460**, de coordenadas **-10°23'04,679" S** e **-56°38'50,409" W**; deste segue, com azimute de **92°48'23"** por uma distância de **162,12m** até o vértice **-M-0461**, de coordenadas **-10°23'04,931" S** e **-56°38'45,084" W**; deste segue, com azimute de **92°58'13"** por uma distância de **112,33m** até o vértice **-M-0462**, de coordenadas **-10°23'05,117" S** e **-56°38'41,394" W**; deste segue, com azimute de **91°36'22"** por uma distância de **169,93m** até o vértice **-M-0463**, de coordenadas **-10°23'05,266" S** e **-56°38'35,808" W**; deste segue, com azimute de **93°16'14"** por uma distância de **74,20m** até o vértice **-M-0464**, de coordenadas **-10°23'05,401" S** e **-56°38'33,371" W**; deste segue, com azimute de **92°34'24"** por uma distância de **37,80m** até o vértice **-M-0465**, de coordenadas **-10°23'05,455" S** e **-56°38'32,130"**

Lido em 9 NOV 2022
Responsável

W; deste segue, com azimute de $92^{\circ}34'24''$ por uma distância de 23,80m até o vértice **-M-0466**, de coordenadas $-10^{\circ}23'05,489''$ S e $-56^{\circ}38'31,347''$ W; deste segue, com azimute de $92^{\circ}34'24''$ por uma distância de 79,83m até o vértice **-M-0467**, de coordenadas $-10^{\circ}23'05,602''$ S e $-56^{\circ}38'28,725''$ W; deste segue, com azimute de $91^{\circ}57'09''$ por uma distância de 90,31m até o vértice **-M-0468**, de coordenadas $-10^{\circ}23'05,699''$ S e $-56^{\circ}38'25,756''$ W; deste segue, com azimute de $91^{\circ}57'09''$ por uma distância de 49,48m até o vértice **-M-0469**, de coordenadas $-10^{\circ}23'05,752''$ S e $-56^{\circ}38'24,130''$ W; deste segue, com azimute de $93^{\circ}23'59''$ por uma distância de 160,62m até o vértice **-M-0470**, de coordenadas $-10^{\circ}23'06,056''$ S e $-56^{\circ}38'18,857''$ W; deste segue, com azimute de $93^{\circ}17'53''$ por uma distância de 156,36m até o vértice **-M-0471**, de coordenadas $-10^{\circ}23'06,344''$ S e $-56^{\circ}38'13,723''$ W; deste segue, com azimute de $92^{\circ}34'45''$ por uma distância de 176,39m até o vértice **-M-0472**, de coordenadas $-10^{\circ}23'06,595''$ S e $-56^{\circ}38'07,927''$ W; deste segue, com azimute de $92^{\circ}15'24''$ por uma distância de 107,50m até o vértice **-M-0473**, de coordenadas $-10^{\circ}23'06,729''$ S e $-56^{\circ}38'04,394''$ W; deste segue, com azimute de $19^{\circ}05'36''$ por uma distância de 14,56m até o vértice **-M-0474**, de coordenadas $-10^{\circ}23'06,281''$ S e $-56^{\circ}38'04,238''$ W; deste segue, com azimute de $0^{\circ}33'22''$ por uma distância de 54,51m até o vértice **-M-0475**, de coordenadas $-10^{\circ}23'04,506''$ S e $-56^{\circ}38'04,223''$ W; deste segue, com azimute de $359^{\circ}47'35''$ por uma distância de 146,58m até o vértice **-M-0476**, de coordenadas $-10^{\circ}22'59,734''$ S e $-56^{\circ}38'04,246''$ W; deste segue, com azimute de $357^{\circ}35'59''$ por uma distância de 88,45m até o vértice **-M-0477**, de coordenadas $-10^{\circ}22'56,857''$ S e $-56^{\circ}38'04,371''$ W; deste segue, com azimute de $1^{\circ}02'53''$ por uma distância de 108,50m até o vértice **-M-0478**, de coordenadas $-10^{\circ}22'53,325''$ S e $-56^{\circ}38'04,310''$ W; deste segue, com azimute de $357^{\circ}35'07''$ por uma distância de 109,90m até o vértice **-M-0479**, de coordenadas $-10^{\circ}22'49,750''$ S e $-56^{\circ}38'04,466''$ W; deste segue, com azimute de $4^{\circ}15'32''$ por uma distância de 62,35m até o vértice **-M-0480**, de coordenadas $-10^{\circ}22'47,725''$ S e $-56^{\circ}38'04,316''$ W; deste segue, com azimute de $4^{\circ}58'11''$ por uma distância de 30,54m até o vértice **-M-0481**, de coordenadas $-10^{\circ}22'46,735''$ S e $-56^{\circ}38'04,230''$ W; deste segue, com azimute de $29^{\circ}53'12''$ por uma distância de 15,04m até o vértice **-M-0482**, de coordenadas $-10^{\circ}22'46,309''$ S e $-56^{\circ}38'03,985''$ W; deste segue, com azimute de $99^{\circ}05'25''$ por uma distância de 16,75m até o vértice **-M-0483**, de coordenadas $-10^{\circ}22'46,395''$ S e $-56^{\circ}38'03,440''$ W; deste segue, com azimute de $86^{\circ}43'46''$ por uma distância de 23,19m até o vértice **-M-0484**, de coordenadas $-10^{\circ}22'46,351''$ S e $-56^{\circ}38'02,679''$ W; deste segue, com azimute de $87^{\circ}42'34''$ por uma distância de 33,10m até o vértice **-M-0485**, de coordenadas $-10^{\circ}22'46,307''$ S e $-56^{\circ}38'01,592''$ W; deste segue, com azimute de $90^{\circ}48'25''$ por uma distância de 46,97m até o vértice **-M-0486**, de coordenadas $-10^{\circ}22'46,327''$ S e $-56^{\circ}38'00,047''$ W; deste segue, com azimute de $92^{\circ}02'44''$ por uma distância de 55,60m até o vértice **-M-0487**, de coordenadas $-10^{\circ}22'46,389''$ S e $-56^{\circ}37'58,220''$ W; deste segue, com azimute de $88^{\circ}52'36''$ por uma distância de 33,74m até o vértice **-M-0488**, de coordenadas $-10^{\circ}22'46,366''$ S e $-56^{\circ}37'57,111''$ W; deste segue, com azimute de $90^{\circ}00'00''$ por uma distância de 17,86m até o vértice **-M-0489**, de coordenadas $-10^{\circ}22'46,366''$ S e $-56^{\circ}37'56,523''$ W; deste segue, com azimute de $90^{\circ}00'00''$ por uma distância de 21,83m até o vértice **-M-0490**, de coordenadas $-10^{\circ}22'46,365''$ S e $-56^{\circ}37'55,805''$ W; deste segue, com azimute de $79^{\circ}52'31''$ por uma distância de 18,81m até o vértice **-M-0491**, de coordenadas $-10^{\circ}22'46,256''$ S e $-56^{\circ}37'55,196''$ W; deste segue, com azimute de $67^{\circ}04'04''$ por uma distância de 18,67m até o vértice **-M-0492**, de coordenadas $-10^{\circ}22'46,019''$ S e $-56^{\circ}37'54,631''$ W; deste segue, com azimute de $86^{\circ}25'24''$ por uma distância de 10,60m até o vértice **-M-0493**, de coordenadas $-10^{\circ}22'45,997''$ S e $-56^{\circ}37'54,283''$ W; deste segue, com azimute de $105^{\circ}38'33''$ por uma distância de 17,17m até o vértice **-M-0494**, de coordenadas $-10^{\circ}22'46,147''$ S e $-56^{\circ}37'53,739''$ W; deste segue, com azimute de $101^{\circ}18'35''$ por uma distância de

Lido em 29 NOV 2022
Responsável



13,49m até o vértice **-M-0495**, de coordenadas **-10°22'46,233" S** e **-56°37'53,304" W**; deste segue, com azimute de **98°07'48"** por uma distância de **9,35m** até o vértice **-M-0496**, de coordenadas **-10°22'46,275" S** e **-56°37'52,999" W**; deste segue, com azimute de **63°26'05"** por uma distância de **11,83m** até o vértice **-M-0497**, de coordenadas **-10°22'46,103" S** e **-56°37'52,651" W**; deste segue, com azimute de **69°51'50"** por uma distância de **21,14m** até o vértice **-M-0498**, de coordenadas **-10°22'45,865" S** e **-56°37'51,999" W**; deste segue, com azimute de **88°09'08"** por uma distância de **20,52m** até o vértice **-M-0499**, de coordenadas **-10°22'45,843" S** e **-56°37'51,325" W**; deste segue, com azimute de **85°20'00"** por uma distância de **32,52m** até o vértice **-M-0500**, de coordenadas **-10°22'45,755" S** e **-56°37'50,259" W**; deste segue, com azimute de **102°43'28"** por uma distância de **21,02m** até o vértice **-M-0501**, de coordenadas **-10°22'45,905" S** e **-56°37'49,584" W**; deste segue, com azimute de **78°06'41"** por uma distância de **25,69m** até o vértice **-M-0502**, de coordenadas **-10°22'45,732" S** e **-56°37'48,758" W**; deste segue, com azimute de **84°17'23"** por uma distância de **21,27m** até o vértice **-M-0503**, de coordenadas **-10°22'45,662" S** e **-56°37'48,062" W**; deste segue, com azimute de **90°00'00"** por uma distância de **20,64m** até o vértice **-M-0504**, de coordenadas **-10°22'45,662" S** e **-56°37'47,383" W**; deste segue, com azimute de **84°36'38"** por uma distância de **28,17m** até o vértice **-M-0505**, de coordenadas **-10°22'45,574" S** e **-56°37'46,461" W**; deste segue, com azimute de **81°01'38"** por uma distância de **10,18m** até o vértice **-M-0506**, de coordenadas **-10°22'45,522" S** e **-56°37'46,130" W**; deste segue, com azimute de **108°53'10"** por uma distância de **21,25m** até o vértice **-M-0507**, de coordenadas **-10°22'45,746" S** e **-56°37'45,469" W**; deste segue, com azimute de **128°14'02"** por uma distância de **22,23m** até o vértice **-M-0508**, de coordenadas **-10°22'46,193" S** e **-56°37'44,894" W**; deste segue, com azimute de **111°32'27"** por uma distância de **21,62m** até o vértice **-M-0509**, de coordenadas **-10°22'46,450" S** e **-56°37'44,233" W**; deste segue, com azimute de **126°05'06"** por uma distância de **38,63m** até o vértice **-M-0510**, de coordenadas **-10°22'47,190" S** e **-56°37'43,205" W**; deste segue, com azimute de **136°13'07"** por uma distância de **17,59m** até o vértice **-M-0511**, de coordenadas **-10°22'47,603" S** e **-56°37'42,804" W**; deste segue, com azimute de **180°00'00"** por uma distância de **16,40m** até o vértice **-M-0512**, de coordenadas **-10°22'48,137" S** e **-56°37'42,804" W**; deste segue, com azimute de **107°06'10"** por uma distância de **14,39m** até o vértice **-M-0513**, de coordenadas **-10°22'48,275" S** e **-56°37'42,351" W**; deste segue, com azimute de **104°49'36"** por uma distância de **18,61m** até o vértice **-M-0514**, de coordenadas **-10°22'48,429" S** e **-56°37'41,759" W**; deste segue, com azimute de **140°26'25"** por uma distância de **15,79m** até o vértice **-M-0515**, de coordenadas **-10°22'48,825" S** e **-56°37'41,428" W**; deste segue, com azimute de **126°15'15"** por uma distância de **9,84m** até o vértice **-M-0516**, de coordenadas **-10°22'49,014" S** e **-56°37'41,167" W**; deste segue, com azimute de **130°01'49"** por uma distância de **17,28m** até o vértice **-M-0517**, de coordenadas **-10°22'49,375" S** e **-56°37'40,731" W**; deste segue, com azimute de **124°30'30"** por uma distância de **10,27m** até o vértice **-M-0518**, de coordenadas **-10°22'49,565" S** e **-56°37'40,452" W**; deste segue, com azimute de **95°34'20"** por uma distância de **21,80m** até o vértice **-M-0519**, de coordenadas **-10°22'49,633" S** e **-56°37'39,739" W**; deste segue, com azimute de **94°17'21"** por uma distância de **21,23m** até o vértice **-M-0520**, de coordenadas **-10°22'49,683" S** e **-56°37'39,043" W**; deste segue, com azimute de **122°00'20"** por uma distância de **9,98m** até o vértice **-M-0521**, de coordenadas **-10°22'49,856" S** e **-56°37'38,764" W**; deste segue, com azimute de **107°06'10"** por uma distância de **21,59m** até o vértice **-M-0522**, de coordenadas **-10°22'50,062" S** e **-56°37'38,085" W**; deste segue, com azimute de **106°15'37"** por uma distância de **13,23m** até o vértice **-M-0523**, de coordenadas **-10°22'50,182" S** e **-56°37'37,668" W**; deste segue, com azimute de **111°48'04"** por uma distância de **22,80m** até o vértice **-M-0524**, de coordenadas **-10°22'50,457" S** e

Lido em 29/NOV/2022
Responsável



-56°37'36,971" W; deste segue, com azimute de 135°00'01" por uma distância de 9,73m até o vértice **-M-0525**, de coordenadas **-10°22'50,680" S** e **-56°37'36,745" W**; deste segue, com azimute de 83°25'05" por uma distância de 13,85m até o vértice **-M-0526**, de coordenadas **-10°22'50,628" S** e **-56°37'36,292" W**; deste segue, com azimute de 57°59'40" por uma distância de 9,98m até o vértice **-M-0527**, de coordenadas **-10°22'50,456" S** e **-56°37'36,014" W**; deste segue, com azimute de 53°36'57" por uma distância de 12,49m até o vértice **-M-0528**, de coordenadas **-10°22'50,214" S** e **-56°37'35,684" W**; deste segue, com azimute de 54°27'44" por uma distância de 13,66m até o vértice **-M-0529**, de coordenadas **-10°22'49,955" S** e **-56°37'35,318" W**; deste segue, com azimute de 74°28'32" por uma distância de 9,89m até o vértice **-M-0530**, de coordenadas **-10°22'49,869" S** e **-56°37'35,005" W**; deste segue, com azimute de 90°00'00" por uma distância de 7,94m até o vértice **-M-0531**, de coordenadas **-10°22'49,868" S** e **-56°37'34,744" W**; deste segue, com azimute de 84°48'20" por uma distância de 17,53m até o vértice **-M-0532**, de coordenadas **-10°22'49,816" S** e **-56°37'34,170" W**; deste segue, com azimute de 78°13'55" por uma distância de 12,97m até o vértice **-M-0533**, de coordenadas **-10°22'49,729" S** e **-56°37'33,752" W**; deste segue, com azimute de 69°13'41" por uma distância de 16,41m até o vértice **-M-0534**, de coordenadas **-10°22'49,539" S** e **-56°37'33,248" W**; deste segue, com azimute de 58°40'16" por uma distância de 14,25m até o vértice **-M-0535**, de coordenadas **-10°22'49,297" S** e **-56°37'32,848" W**; deste segue, com azimute de 71°33'54" por uma distância de 15,06m até o vértice **-M-0536**, de coordenadas **-10°22'49,142" S** e **-56°37'32,378" W**; deste segue, com azimute de 95°04'47" por uma distância de 23,91m até o vértice **-M-0537**, de coordenadas **-10°22'49,210" S** e **-56°37'31,595" W**; deste segue, com azimute de 97°35'40" por uma distância de 32,03m até o vértice **-M-0538**, de coordenadas **-10°22'49,346" S** e **-56°37'30,551" W**; deste segue, com azimute de 85°14'11" por uma distância de 25,49m até o vértice **-M-0539**, de coordenadas **-10°22'49,276" S** e **-56°37'29,716" W**; deste segue, com azimute de 88°18'56" por uma distância de 18,00m até o vértice **-M-0540**, de coordenadas **-10°22'49,258" S** e **-56°37'29,124" W**; deste segue, com azimute de 57°05'41" por uma distância de 10,71m até o vértice **-M-0541**, de coordenadas **-10°22'49,069" S** e **-56°37'28,828" W**; deste segue, com azimute de 100°37'11" por uma distância de 8,61m até o vértice **-M-0542**, de coordenadas **-10°22'49,120" S** e **-56°37'28,550" W**; deste segue, com azimute de 90°00'00" por uma distância de 6,88m até o vértice **-M-0543**, de coordenadas **-10°22'49,120" S** e **-56°37'28,324" W**; deste segue, com azimute de 86°49'14" por uma distância de 9,54m até o vértice **-M-0544**, de coordenadas **-10°22'49,102" S** e **-56°37'28,010" W**; deste segue, com azimute de 78°41'25" por uma distância de 8,09m até o vértice **-M-0545**, de coordenadas **-10°22'49,050" S** e **-56°37'27,749" W**; deste segue, com azimute de 63°26'04" por uma distância de 13,02m até o vértice **-M-0546**, de coordenadas **-10°22'48,860" S** e **-56°37'27,367" W**; deste segue, com azimute de 55°00'30" por uma distância de 12,92m até o vértice **-M-0547**, de coordenadas **-10°22'48,619" S** e **-56°37'27,019" W**; deste segue, com azimute de 38°59'27" por uma distância de 14,30m até o vértice **-M-0548**, de coordenadas **-10°22'48,256" S** e **-56°37'26,724" W**; deste segue, com azimute de 36°15'13" por uma distância de 9,84m até o vértice **-M-0549**, de coordenadas **-10°22'47,998" S** e **-56°37'26,533" W**; deste segue, com azimute de 357°33'48" por uma distância de 24,89m até o vértice **-M-0550**, de coordenadas **-10°22'47,188" S** e **-56°37'26,568" W**; deste segue, com azimute de 341°33'53" por uma distância de 13,39m até o vértice **-M-0551**, de coordenadas **-10°22'46,775" S** e **-56°37'26,708" W**; deste segue, com azimute de 3°56'44" por uma distância de 15,38m até o vértice **-M-0552**, de coordenadas **-10°22'46,275" S** e **-56°37'26,674" W**; deste segue, com azimute de 341°33'53" por uma distância de 10,04m até o vértice **-M-0553**, de coordenadas **-10°22'45,965" S** e **-56°37'26,779" W**; deste segue, com azimute de 338°11'55" por

Ido em 29 NOV 2022
Responsável

uma distância de 8,55m até o vértice **-M-0554**, de coordenadas **-10°22'45,707" S** e **-56°37'26,883" W**; deste segue, com azimute de 347°54'19" por uma distância de 7,58m até o vértice **-M-0555**, de coordenadas **-10°22'45,466" S** e **-56°37'26,936" W**; deste segue, com azimute de 14°55'54" por uma distância de 8,21m até o vértice **-M-0556**, de coordenadas **-10°22'45,207" S** e **-56°37'26,866" W**; deste segue, com azimute de 35°32'14" por uma distância de 4,55m até o vértice **-M-0557**, de coordenadas **-10°22'45,086" S** e **-56°37'26,780" W**; deste segue, com azimute de 90°00'00" por uma distância de 9,00m até o vértice **-M-0558**, de coordenadas **-10°22'45,086" S** e **-56°37'26,484" W**; deste segue, com azimute de 96°06'56" por uma distância de 14,90m até o vértice **-M-0559**, de coordenadas **-10°22'45,137" S** e **-56°37'25,996" W**; deste segue, com azimute de 128°39'35" por uma distância de 13,55m até o vértice **-M-0560**, de coordenadas **-10°22'45,412" S** e **-56°37'25,648" W**; deste segue, com azimute de 126°01'39" por uma distância de 14,39m até o vértice **-M-0561**, de coordenadas **-10°22'45,688" S** e **-56°37'25,265" W**; deste segue, com azimute de 113°52'31" por uma distância de 35,30m até o vértice **-M-0562**, de coordenadas **-10°22'46,151" S** e **-56°37'24,203" W**; deste segue, com azimute de 90°42'58" por uma distância de 50,60m até o vértice **-M-0563**, de coordenadas **-10°22'46,170" S** e **-56°37'22,539" W**; deste segue, com azimute de 90°42'58" por uma distância de 34,07m até o vértice **-M-0564**, de coordenadas **-10°22'46,183" S** e **-56°37'21,418" W**; deste segue, com azimute de 89°37'32" por uma distância de 80,96m até o vértice **-M-0565**, de coordenadas **-10°22'46,162" S** e **-56°37'18,756" W**; deste segue, com azimute de 92°12'48" por uma distância de 109,62m até o vértice **-M-0566**, de coordenadas **-10°22'46,296" S** e **-56°37'15,153" W**; deste segue, com azimute de 91°27'23" por uma distância de 62,46m até o vértice **-M-0567**, de coordenadas **-10°22'46,345" S** e **-56°37'13,100" W**; deste segue, com azimute de 92°39'47" por uma distância de 68,34m até o vértice **-M-0568**, de coordenadas **-10°22'46,446" S** e **-56°37'10,855" W**; deste segue, com azimute de 89°37'32" por uma distância de 80,96m até o vértice **-M-0569**, de coordenadas **-10°22'46,426" S** e **-56°37'08,192" W**; deste segue, com azimute de 91°42'17" por uma distância de 88,94m até o vértice **-M-0570**, de coordenadas **-10°22'46,508" S** e **-56°37'05,269" W**; deste segue, com azimute de 90°00'00" por uma distância de 25,93m até o vértice **-M-0571**, de coordenadas **-10°22'46,507" S** e **-56°37'04,416" W**; deste segue, com azimute de 75°37'07" por uma distância de 21,31m até o vértice **-M-0572**, de coordenadas **-10°22'46,334" S** e **-56°37'03,737" W**; deste segue, com azimute de 79°52'32" por uma distância de 15,05m até o vértice **-M-0573**, de coordenadas **-10°22'46,247" S** e **-56°37'03,250" W**; deste segue, com azimute de 82°52'29" por uma distância de 21,33m até o vértice **-M-0574**, de coordenadas **-10°22'46,160" S** e **-56°37'02,554" W**; deste segue, com azimute de 65°33'21" por uma distância de 12,79m até o vértice **-M-0575**, de coordenadas **-10°22'45,988" S** e **-56°37'02,172" W**; deste segue, com azimute de 97°07'31" por uma distância de 21,33m até o vértice **-M-0576**, de coordenadas **-10°22'46,073" S** e **-56°37'01,476" W**; deste segue, com azimute de 106°23'23" por uma distância de 18,75m até o vértice **-M-0577**, de coordenadas **-10°22'46,245" S** e **-56°37'00,884" W**; deste segue, com azimute de 93°00'46" por uma distância de 20,14m até o vértice **-M-0578**, de coordenadas **-10°22'46,278" S** e **-56°37'00,222" W**; deste segue, com azimute de 105°42'31" por uma distância de 17,59m até o vértice **-M-0579**, de coordenadas **-10°22'46,433" S** e **-56°36'59,665" W**; deste segue, com azimute de 90°00'00" por uma distância de 36,51m até o vértice **-M-0580**, de coordenadas **-10°22'46,431" S** e **-56°36'58,464" W**; deste segue, com azimute de 90°00'00" por uma distância de 66,68m até o vértice **-M-0581**, de coordenadas **-10°22'46,429" S** e **-56°36'56,272" W**; deste segue, com azimute de 91°19'56" por uma distância de 68,28m até o vértice **-M-0582**, de coordenadas **-10°22'46,478" S** e **-56°36'54,027" W**; deste segue, com azimute de 90°45'50" por uma distância de 39,69m até o vértice **-M-0583**, de coordenadas -

Lido em 29 NOV 2022
Responsável

10°22'46,493" S e -56°36'52,722" W; deste segue, com azimute de 94°49'49" por uma distância de 37,70m até o vértice **-M-0584**, de coordenadas **-10°22'46,595" S e -56°36'51,486" W**; deste segue, com azimute de 90°00'00" por uma distância de 34,93m até o vértice **-M-0585**, de coordenadas **-10°22'46,594" S e -56°36'50,337" W**; deste segue, com azimute de 86°07'17" por uma distância de 31,29m até o vértice **-M-0586**, de coordenadas **-10°22'46,523" S e -56°36'49,311" W**; deste segue, com azimute de 95°42'38" por uma distância de 37,23m até o vértice **-M-0587**, de coordenadas **-10°22'46,643" S e -56°36'48,092" W**; deste segue, com azimute de 93°21'59" por uma distância de 36,05m até o vértice **-M-0588**, de coordenadas **-10°22'46,710" S e -56°36'46,909" W**; deste segue, com azimute de 84°13'03" por uma distância de 42,02m até o vértice **-M-0589**, de coordenadas **-10°22'46,571" S e -56°36'45,534" W**; deste segue, com azimute de 84°05'38" por uma distância de 30,86m até o vértice **-M-0590**, de coordenadas **-10°22'46,466" S e -56°36'44,525" W**; deste segue, com azimute de 90°00'00" por uma distância de 31,75m até o vértice **-M-0591**, de coordenadas **-10°22'46,465" S e -56°36'43,481" W**; deste segue, com azimute de 90°00'00" por uma distância de 42,86m até o vértice **-M-0592**, de coordenadas **-10°22'46,463" S e -56°36'42,071" W**; deste segue, com azimute de 94°03'24" por uma distância de 74,80m até o vértice **-M-0593**, de coordenadas **-10°22'46,633" S e -56°36'39,617" W**; deste segue, com azimute de 90°50'51" por uma distância de 178,88m até o vértice **-M-0594**, de coordenadas **-10°22'46,711" S e -56°36'33,735" W**; deste segue, com azimute de 91°13'20" por uma distância de 198,48m até o vértice **-M-0595**, de coordenadas **-10°22'46,841" S e -56°36'27,209" W**; deste segue, com azimute de 91°10'47" por uma distância de 77,34m até o vértice **-M-0596**, de coordenadas **-10°22'46,890" S e -56°36'24,667" W**; deste segue, com azimute de 91°10'48" por uma distância de 162,57m até o vértice **-M-0597**, de coordenadas **-10°22'46,993" S e -56°36'19,321" W**; deste segue, com azimute de 91°10'48" por uma distância de 5,52m até o vértice **-M-0598**, de coordenadas **-10°22'46,996" S e -56°36'19,140" W**; deste segue, com azimute de 90°37'34" por uma distância de 217,90m até o vértice **-M-0599**, de coordenadas **-10°22'47,065" S e -56°36'11,974" W**; deste segue, com azimute de 90°48'58" por uma distância de 44,12m até o vértice **-M-0600**, de coordenadas **-10°22'47,083" S e -56°36'10,523" W**; deste segue, com azimute de 90°48'58" por uma distância de 95,20m até o vértice **-M-0601**, de coordenadas **-10°22'47,124" S e -56°36'07,393" W**; deste segue, com azimute de 90°37'16" por uma distância de 146,46m até o vértice **-M-0602**, de coordenadas **-10°22'47,169" S e -56°36'02,577" W**; deste segue, com azimute de 90°21'17" por uma distância de 128,19m até o vértice **-M-0603**, de coordenadas **-10°22'47,190" S e -56°35'58,361" W**; deste segue, com azimute de 91°27'29" por uma distância de 109,18m até o vértice **-M-0604**, de coordenadas **-10°22'47,276" S e -56°35'54,772" W**; deste segue, com azimute de 92°30'50" por uma distância de 81,44m até o vértice **-M-0605**, de coordenadas **-10°22'47,389" S e -56°35'52,096" W**; deste segue, com azimute de 90°49'41" por uma distância de 137,33m até o vértice **-M-0606**, de coordenadas **-10°22'47,448" S e -56°35'47,580" W**; deste segue, com azimute de 91°50'51" por uma distância de 49,24m até o vértice **-M-0607**, de coordenadas **-10°22'47,498" S e -56°35'45,961" W**; deste segue, com azimute de 93°55'06" por uma distância de 58,08m até o vértice **-M-0608**, de coordenadas **-10°22'47,624" S e -56°35'44,056" W**; deste segue, com azimute de 90°00'00" por uma distância de 136,53m até o vértice **-M-0609**, de coordenadas **-10°22'47,619" S e -56°35'39,566" W**; deste segue, com azimute de 90°00'00" por uma distância de 59,93m até o vértice **-M-0610**, de coordenadas **-10°22'47,616" S e -56°35'37,595" W**; deste segue, com azimute de 89°51'09" por uma distância de 12,74m até o vértice **-M-0611**, de coordenadas **-10°22'47,615" S e -56°35'37,176" W**; deste segue, com azimute de 89°51'10" por uma distância de 141,65m até o vértice **-M-0612**, de coordenadas **-10°22'47,597" S e -56°35'32,518" W**; deste segue, com azimute de

Lido em _____
19 JUNHO 2022
Responsável _____

90°43'31" por uma distância de 125,42m até o vértice **-M-0613**, de coordenadas **-10°22'47,643" S** e **-56°35'28,394" W**; deste segue, com azimute de 90°38'12" por uma distância de 142,88m até o vértice **-M-0614**, de coordenadas **-10°22'47,689" S** e **-56°35'23,695" W**; deste segue, com azimute de 90°51'56" por uma distância de 131,38m até o vértice **-M-0615**, de coordenadas **-10°22'47,748" S** e **-56°35'19,375" W**; deste segue, com azimute de 91°12'47" por uma distância de 168,71m até o vértice **-M-0616**, de coordenadas **-10°22'47,857" S** e **-56°35'13,828" W**; deste segue, com azimute de 89°22'46" por uma distância de 109,94m até o vértice **-M-0617**, de coordenadas **-10°22'47,814" S** e **-56°35'10,212" W**; deste segue, com azimute de 91°46'34" por uma distância de 102,44m até o vértice **-M-0618**, de coordenadas **-10°22'47,913" S** e **-56°35'06,845" W**; deste segue, com azimute de 90°27'21" por uma distância de 2,90m até o vértice **-M-0619**, de coordenadas **-10°22'47,913" S** e **-56°35'06,750" W**; deste segue, com azimute de 90°27'21" por uma distância de 146,73m até o vértice **-M-0620**, de coordenadas **-10°22'47,945" S** e **-56°35'01,924" W**; deste segue, com azimute de 90°12'49" por uma distância de 106,36m até o vértice **-M-0621**, de coordenadas **-10°22'47,954" S** e **-56°34'58,426" W**; deste segue, com azimute de 92°29'22" por uma distância de 45,68m até o vértice **-M-0622**, de coordenadas **-10°22'48,016" S** e **-56°34'56,925" W**; deste segue, com azimute de 88°28'57" por uma distância de 59,95m até o vértice **-M-0623**, de coordenadas **-10°22'47,962" S** e **-56°34'54,955" W**; deste segue, com azimute de 90°52'21" por uma distância de 78,19m até o vértice **-M-0624**, de coordenadas **-10°22'47,997" S** e **-56°34'52,384" W**; deste segue, com azimute de 101°53'19" por uma distância de 15,41m até o vértice **-M-0625**, de coordenadas **-10°22'48,100" S** e **-56°34'51,888" W**; deste segue, com azimute de 92°04'13" por uma distância de 32,96m até o vértice **-M-0626**, de coordenadas **-10°22'48,138" S** e **-56°34'50,804" W**; deste segue, com azimute de 89°48'11" por uma distância de 115,49m até o vértice **-M-0627**, de coordenadas **-10°22'48,120" S** e **-56°34'47,006" W**; deste segue, com azimute de 90°55'32" por uma distância de 49,14m até o vértice **-M-0628**, de coordenadas **-10°22'48,144" S** e **-56°34'45,390" W**; deste segue, com azimute de 89°10'54" por uma distância de 37,05m até o vértice **-M-0629**, de coordenadas **-10°22'48,125" S** e **-56°34'44,172" W**; deste segue, com azimute de 91°21'34" por uma distância de 156,15m até o vértice **-M-0630**, de coordenadas **-10°22'48,238" S** e **-56°34'39,038" W**; deste segue, com azimute de 91°42'35" por uma distância de 106,41m até o vértice **-M-0631**, de coordenadas **-10°22'48,337" S** e **-56°34'35,540" W**; deste segue, com azimute de 90°42'11" por uma distância de 86,26m até o vértice **-M-0632**, de coordenadas **-10°22'48,368" S** e **-56°34'32,704" W**; deste segue, com azimute de 74°21'28" por uma distância de 41,21m até o vértice **-M-0633**, de coordenadas **-10°22'48,004" S** e **-56°34'31,399" W**; deste segue, com azimute de 82°24'19" por uma distância de 16,02m até o vértice **-M-0634**, de coordenadas **-10°22'47,935" S** e **-56°34'30,877" W**; deste segue, com azimute de 83°39'34" por uma distância de 4,79m até o vértice **-M-0635**, de coordenadas **-10°22'47,917" S** e **-56°34'30,720" W**; deste segue, com azimute de 84°17'22" por uma distância de 10,64m até o vértice **-M-0636**, de coordenadas **-10°22'47,883" S** e **-56°34'30,372" W**; deste segue, com azimute de 85°14'10" por uma distância de 6,37m até o vértice **-M-0637**, de coordenadas **-10°22'47,865" S** e **-56°34'30,164" W**; deste segue, com azimute de 90°00'00" por uma distância de 6,35m até o vértice **-M-0638**, de coordenadas **-10°22'47,865" S** e **-56°34'29,955" W**; deste segue, com azimute de 105°25'21" por uma distância de 15,92m até o vértice **-M-0639**, de coordenadas **-10°22'48,002" S** e **-56°34'29,450" W**; deste segue, com azimute de 90°00'00" por uma distância de 12,17m até o vértice **-M-0640**, de coordenadas **-10°22'48,001" S** e **-56°34'29,050" W**; deste segue, com azimute de 110°51'16" por uma distância de 11,89m até o vértice **-M-0641**, de coordenadas **-10°22'48,138" S** e **-56°34'28,684" W**; deste segue, com azimute de 110°33'22" por uma distância de 22,61m até o vértice **-M-0642**, de

Lido em 29 NOV 2022
Responsável

coordenadas **-10°22'48,396" S e -56°34'27,987" W**; deste segue, com azimute de 91°11'59" por uma distância de 101,09m até o vértice **-M-0643**, de coordenadas **-10°22'48,461" S e -56°34'24,664" W**; deste segue, com azimute de 90°51'28" por uma distância de 176,76m até o vértice **-M-0644**, de coordenadas **-10°22'48,539" S e -56°34'18,851" W**; deste segue, com azimute de 91°02'07" por uma distância de 175,71m até o vértice **-M-0645**, de coordenadas **-10°22'48,635" S e -56°34'13,074" W**; deste segue, com azimute de 91°03'39" por uma distância de 200,06m até o vértice **-M-0646**, de coordenadas **-10°22'48,746" S e -56°34'06,495" W**; deste segue, com azimute de 90°41'25" por uma distância de 175,70m até o vértice **-M-0647**, de coordenadas **-10°22'48,808" S e -56°34'00,718" W**; deste segue, com azimute de 90°25'39" por uma distância de 141,82m até o vértice **-M-0648**, de coordenadas **-10°22'48,836" S e -56°33'56,054" W**; deste segue, com azimute de 91°40'01" por uma distância de 200,11m até o vértice **-M-0649**, de coordenadas **-10°22'49,016" S e -56°33'49,476" W**; deste segue, com azimute de 90°53'30" por uma distância de 136,01m até o vértice **-M-0650**, de coordenadas **-10°22'49,079" S e -56°33'45,003" W**; deste segue, com azimute de 91°44'47" por uma distância de 173,65m até o vértice **-M-0651**, de coordenadas **-10°22'49,244" S e -56°33'39,295" W**; deste segue, com azimute de 90°00'00" por uma distância de 128,06m até o vértice **-M-0652**, de coordenadas **-10°22'49,238" S e -56°33'35,083" W**; deste segue, com azimute de 90°12'41" por uma distância de 143,41m até o vértice **-M-0653**, de coordenadas **-10°22'49,249" S e -56°33'30,367" W**; deste segue, com azimute de 92°24'01" por uma distância de 88,45m até o vértice **-M-0654**, de coordenadas **-10°22'49,365" S e -56°33'27,461" W**; deste segue, com azimute de 92°20'39" por uma distância de 90,56m até o vértice **-M-0655**, de coordenadas **-10°22'49,482" S e -56°33'24,485" W**; deste segue, com azimute de 91°21'50" por uma distância de 66,69m até o vértice **-M-0656**, de coordenadas **-10°22'49,530" S e -56°33'22,293" W**; deste segue, com azimute de 90°00'00" por uma distância de 124,35m até o vértice **-M-0657**, de coordenadas **-10°22'49,525" S e -56°33'18,203" W**; deste segue, com azimute de 92°03'50" por uma distância de 117,55m até o vértice **-M-0658**, de coordenadas **-10°22'49,657" S e -56°33'14,340" W**; deste segue, com azimute de 90°00'00" por uma distância de 57,15m até o vértice **-M-0659**, de coordenadas **-10°22'49,655" S e -56°33'12,460" W**; deste segue, com azimute de 91°25'13" por uma distância de 128,10m até o vértice **-M-0660**, de coordenadas **-10°22'49,752" S e -56°33'08,249" W**; deste segue, com azimute de 88°56'03" por uma distância de 113,79m até o vértice **-M-0661**, de coordenadas **-10°22'49,678" S e -56°33'04,507" W**; deste segue, com azimute de 92°39'47" por uma distância de 45,56m até o vértice **-M-0662**, de coordenadas **-10°22'49,745" S e -56°33'03,010" W**; deste segue, com azimute de 90°00'00" por uma distância de 20,11m até o vértice **-M-0663**, de coordenadas **-10°22'49,744" S e -56°33'02,349" W**; deste segue, com azimute de 92°56'08" por uma distância de 61,99m até o vértice **-M-0664**, de coordenadas **-10°22'49,845" S e -56°33'00,313" W**; deste segue, com azimute de 94°48'49" por uma distância de 100,90m até o vértice **-M-0665**, de coordenadas **-10°22'50,115" S e -56°32'57,006" W**; deste segue, com azimute de 90°43'31" por uma distância de 83,62m até o vértice **-M-0666**, de coordenadas **-10°22'50,146" S e -56°32'54,257" W**; deste segue, com azimute de 88°13'16" por uma distância de 85,24m até o vértice **-M-0667**, de coordenadas **-10°22'50,056" S e -56°32'51,455" W**; deste segue, com azimute de 95°03'26" por uma distância de 60,03m até o vértice **-M-0668**, de coordenadas **-10°22'50,226" S e -56°32'49,488" W**; deste segue, com azimute de 90°00'00" por uma distância de 11,64m até o vértice **-M-0669**, de coordenadas **-10°22'50,225" S e -56°32'49,105" W**; deste segue, com azimute de 90°00'00" por uma distância de 17,46m até o vértice **-M-0670**, de coordenadas **-10°22'50,224" S e -56°32'48,531" W**; deste segue, com azimute de 90°00'00" por uma distância de 12,70m até o vértice **-M-0671**, de coordenadas **-10°22'50,224" S e -56°32'48,113" W**; deste segue,

Lido em 29 NOV 2022
Responsável



com azimute de $98^{\circ}44'47''$ por uma distância de 13,92m até o vértice **-M-0672**, de coordenadas $-10^{\circ}22'50,292''$ S e $-56^{\circ}32'47,661''$ W; deste segue, com azimute de $96^{\circ}42'36''$ por uma distância de 18,12m até o vértice **-M-0673**, de coordenadas $-10^{\circ}22'50,360''$ S e $-56^{\circ}32'47,069''$ W; deste segue, com azimute de $90^{\circ}54'34''$ por uma distância de 33,34m até o vértice **-M-0674**, de coordenadas $-10^{\circ}22'50,376''$ S e $-56^{\circ}32'45,973''$ W; deste segue, com azimute de $90^{\circ}36'11''$ por uma distância de 100,55m até o vértice **-M-0675**, de coordenadas $-10^{\circ}22'50,405''$ S e $-56^{\circ}32'42,666''$ W; deste segue, com azimute de $91^{\circ}19'12''$ por uma distância de 114,86m até o vértice **-M-0676**, de coordenadas $-10^{\circ}22'50,486''$ S e $-56^{\circ}32'38,890''$ W; deste segue, com azimute de $89^{\circ}38'47''$ por uma distância de 85,73m até o vértice **-M-0677**, de coordenadas $-10^{\circ}22'50,465''$ S e $-56^{\circ}32'36,071''$ W; deste segue, com azimute de $91^{\circ}02'30''$ por uma distância de 116,44m até o vértice **-M-0678**, de coordenadas $-10^{\circ}22'50,528''$ S e $-56^{\circ}32'32,242''$ W; deste segue, com azimute de $89^{\circ}36'27''$ por uma distância de 77,26m até o vértice **-M-0679**, de coordenadas $-10^{\circ}22'50,508''$ S e $-56^{\circ}32'29,701''$ W; deste segue, com azimute de $90^{\circ}17'43''$ por uma distância de 102,66m até o vértice **-M-0680**, de coordenadas $-10^{\circ}22'50,520''$ S e $-56^{\circ}32'26,325''$ W; deste segue, com azimute de $93^{\circ}30'50''$ por uma distância de 60,44m até o vértice **-M-0681**, de coordenadas $-10^{\circ}22'50,638''$ S e $-56^{\circ}32'24,341''$ W; deste segue, com azimute de $92^{\circ}43'35''$ por uma distância de 55,63m até o vértice **-M-0682**, de coordenadas $-10^{\circ}22'50,721''$ S e $-56^{\circ}32'22,514''$ W; deste segue, com azimute de $90^{\circ}00'00''$ por uma distância de 29,63m até o vértice **-M-0683**, de coordenadas $-10^{\circ}22'50,720''$ S e $-56^{\circ}32'21,539''$ W; deste segue, com azimute de $92^{\circ}48'56''$ por uma distância de 64,64m até o vértice **-M-0684**, de coordenadas $-10^{\circ}22'50,820''$ S e $-56^{\circ}32'19,416''$ W; deste segue, com azimute de $91^{\circ}30'27''$ por uma distância de 40,23m até o vértice **-M-0685**, de coordenadas $-10^{\circ}22'50,853''$ S e $-56^{\circ}32'18,094''$ W; deste segue, com azimute de $88^{\circ}15'51''$ por uma distância de 52,41m até o vértice **-M-0686**, de coordenadas $-10^{\circ}22'50,799''$ S e $-56^{\circ}32'16,371''$ W; deste segue, com azimute de $88^{\circ}36'51''$ por uma distância de 65,64m até o vértice **-M-0687**, de coordenadas $-10^{\circ}22'50,744''$ S e $-56^{\circ}32'14,213''$ W; deste segue, com azimute de $85^{\circ}36'05''$ por uma distância de 20,70m até o vértice **-M-0688**, de coordenadas $-10^{\circ}22'50,691''$ S e $-56^{\circ}32'13,534''$ W; deste segue, com azimute de $88^{\circ}36'10''$ por uma distância de 21,70m até o vértice **-M-0689**, de coordenadas $-10^{\circ}22'50,673''$ S e $-56^{\circ}32'12,821''$ W; deste segue, com azimute de $96^{\circ}29'00''$ por uma distância de 23,43m até o vértice **-M-0690**, de coordenadas $-10^{\circ}22'50,758''$ S e $-56^{\circ}32'12,055''$ W; deste segue, com azimute de $103^{\circ}23'32''$ por uma distância de 22,85m até o vértice **-M-0691**, de coordenadas $-10^{\circ}22'50,929''$ S e $-56^{\circ}32'11,324''$ W; deste segue, com azimute de $93^{\circ}54'02''$ por uma distância de 23,34m até o vértice **-M-0692**, de coordenadas $-10^{\circ}22'50,980''$ S e $-56^{\circ}32'10,558''$ W; deste segue, com azimute de $131^{\circ}25'24''$ por uma distância de 12,00m até o vértice **-M-0693**, de coordenadas $-10^{\circ}22'51,238''$ S e $-56^{\circ}32'10,262''$ W; deste segue, com azimute de $131^{\circ}29'47''$ por uma distância de 18,37m até o vértice **-M-0694**, de coordenadas $-10^{\circ}22'51,633''$ S e $-56^{\circ}32'09,809''$ W; deste segue, com azimute de $131^{\circ}45'37''$ por uma distância de 19,86m até o vértice **-M-0695**, de coordenadas $-10^{\circ}22'52,064''$ S e $-56^{\circ}32'09,321''$ W; deste segue, com azimute de $133^{\circ}52'37''$ por uma distância de 19,09m até o vértice **-M-0696**, de coordenadas $-10^{\circ}22'52,493''$ S e $-56^{\circ}32'08,868''$ W; deste segue, com azimute de $123^{\circ}41'24''$ por uma distância de 20,99m até o vértice **-M-0697**, de coordenadas $-10^{\circ}22'52,872''$ S e $-56^{\circ}32'08,293''$ W; deste segue, com azimute de $87^{\circ}33'48''$ por uma distância de 24,89m até o vértice **-M-0698**, de coordenadas $-10^{\circ}22'52,836''$ S e $-56^{\circ}32'07,475''$ W; deste segue, com azimute de $30^{\circ}34'46''$ por uma distância de 13,52m até o vértice **-M-0699**, de coordenadas $-10^{\circ}22'52,457''$ S e $-56^{\circ}32'07,249''$ W; deste segue, com azimute de $76^{\circ}14'20''$ por uma distância de 26,70m até o vértice **-M-0700**, de coordenadas $-10^{\circ}22'52,249''$ S e $-56^{\circ}32'06,397''$ W; deste segue, com azimute de $36^{\circ}31'45''$ por uma distância de 17,78m até o

Lido em 29 NOV 2022
Responsável 



vértice **-M-0701**, de coordenadas **-10°22'51,783" S** e **-56°32'06,050" W**; deste segue, com azimute de **43°46'52"** por uma distância de **17,59m** até o vértice **-M-0702**, de coordenadas **-10°22'51,369" S** e **-56°32'05,650" W**; deste segue, com azimute de **73°14'15"** por uma distância de **45,87m** até o vértice **-M-0703**, de coordenadas **-10°22'50,936" S** e **-56°32'04,206" W**; deste segue, com azimute de **74°17'29"** por uma distância de **17,59m** até o vértice **-M-0704**, de coordenadas **-10°22'50,780" S** e **-56°32'03,650" W**; deste segue, com azimute de **78°06'40"** por uma distância de **20,55m** até o vértice **-M-0705**, de coordenadas **-10°22'50,641" S** e **-56°32'02,989" W**; deste segue, com azimute de **53°28'16"** por uma distância de **17,78m** até o vértice **-M-0706**, de coordenadas **-10°22'50,296" S** e **-56°32'02,519" W**; deste segue, com azimute de **61°23'23"** por uma distância de **19,89m** até o vértice **-M-0707**, de coordenadas **-10°22'49,985" S** e **-56°32'01,946" W**; deste segue, com azimute de **31°36'27"** por uma distância de **16,15m** até o vértice **-M-0708**, de coordenadas **-10°22'49,537" S** e **-56°32'01,668" W**; deste segue, com azimute de **39°48'20"** por uma distância de **12,40m** até o vértice **-M-0709**, de coordenadas **-10°22'49,226" S** e **-56°32'01,407" W**; deste segue, com azimute de **59°18'01"** por uma distância de **19,69m** até o vértice **-M-0710**, de coordenadas **-10°22'48,898" S** e **-56°32'00,851" W**; deste segue, com azimute de **46°10'09"** por uma distância de **18,34m** até o vértice **-M-0711**, de coordenadas **-10°22'48,484" S** e **-56°32'00,416" W**; deste segue, com azimute de **54°09'44"** por uma distância de **11,75m** até o vértice **-M-0712**, de coordenadas **-10°22'48,260" S** e **-56°32'00,104" W**; deste segue, com azimute de **69°37'25"** por uma distância de **19,76m** até o vértice **-M-0713**, de coordenadas **-10°22'48,035" S** e **-56°31'59,495" W**; deste segue, com azimute de **83°09'26"** por uma distância de **13,32m** até o vértice **-M-0714**, de coordenadas **-10°22'47,982" S** e **-56°31'59,060" W**; deste segue, com azimute de **83°09'26"** por uma distância de **13,32m** até o vértice **-M-0715**, de coordenadas **-10°22'47,930" S** e **-56°31'58,625" W**; deste segue, com azimute de **90°00'00"** por uma distância de **30,69m** até o vértice **-M-0716**, de coordenadas **-10°22'47,929" S** e **-56°31'57,616" W**; deste segue, com azimute de **108°53'10"** por uma distância de **21,25m** até o vértice **-M-0717**, de coordenadas **-10°22'48,152" S** e **-56°31'56,954" W**; deste segue, com azimute de **116°33'54"** por uma distância de **14,20m** até o vértice **-M-0718**, de coordenadas **-10°22'48,358" S** e **-56°31'56,536" W**; deste segue, com azimute de **113°21'20"** por uma distância de **25,36m** até o vértice **-M-0719**, de coordenadas **-10°22'48,684" S** e **-56°31'55,770" W**; deste segue, com azimute de **109°34'23"** por uma distância de **25,27m** até o vértice **-M-0720**, de coordenadas **-10°22'48,958" S** e **-56°31'54,986" W**; deste segue, com azimute de **113°52'31"** por uma distância de **35,30m** até o vértice **-M-0721**, de coordenadas **-10°22'49,422" S** e **-56°31'53,924" W**; deste segue, com azimute de **113°46'55"** por uma distância de **68,24m** até o vértice **-M-0722**, de coordenadas **-10°22'50,315" S** e **-56°31'51,869" W**; deste segue, com azimute de **104°37'15"** por uma distância de **50,31m** até o vértice **-M-0723**, de coordenadas **-10°22'50,726" S** e **-56°31'50,268" W**; deste segue, com azimute de **104°42'30"** por uma distância de **43,77m** até o vértice **-M-0724**, de coordenadas **-10°22'51,086" S** e **-56°31'48,875" W**; deste segue, com azimute de **91°49'58"** por uma distância de **66,18m** até o vértice **-M-0725**, de coordenadas **-10°22'51,152" S** e **-56°31'46,700" W**; deste segue, com azimute de **91°55'50"** por uma distância de **47,12m** até o vértice **-M-0726**, de coordenadas **-10°22'51,201" S** e **-56°31'45,151" W**; deste segue, com azimute de **88°41'54"** por uma distância de **23,29m** até o vértice **-M-0727**, de coordenadas **-10°22'51,183" S** e **-56°31'44,385" W**; deste segue, com azimute de **91°16'43"** por uma distância de **118,56m** até o vértice **-M-0728**, de coordenadas **-10°22'51,263" S** e **-56°31'40,487" W**; deste segue, com azimute de **90°59'16"** por uma distância de **92,09m** até o vértice **-M-0729**, de coordenadas **-10°22'51,311" S** e **-56°31'37,459" W**; deste segue, com azimute de **92°44'42"** por uma distância de **77,35m** até o vértice **-M-0730**, de coordenadas **-10°22'51,427" S** e **-56°31'34,918"**

Elido em 29 NOV 2022
Responsável

W; deste segue, com azimute de $91^{\circ}48'31''$ por uma distância de 50,30m até o vértice **-M-0731**, de coordenadas $-10^{\circ}22'51,477''$ S e $-56^{\circ}31'33,264''$ W; deste segue, com azimute de $88^{\circ}56'56''$ por uma distância de 57,69m até o vértice **-M-0732**, de coordenadas $-10^{\circ}22'51,439''$ S e $-56^{\circ}31'31,368''$ W; deste segue, com azimute de $90^{\circ}00'00''$ por uma distância de 30,16m até o vértice **-M-0733**, de coordenadas $-10^{\circ}22'51,438''$ S e $-56^{\circ}31'30,376''$ W; deste segue, com azimute de $91^{\circ}19'01''$ por uma distância de 92,10m até o vértice **-M-0734**, de coordenadas $-10^{\circ}22'51,502''$ S e $-56^{\circ}31'27,348''$ W; deste segue, com azimute de $89^{\circ}15'56''$ por uma distância de 41,28m até o vértice **-M-0735**, de coordenadas $-10^{\circ}22'51,483''$ S e $-56^{\circ}31'25,990''$ W; deste segue, com azimute de $95^{\circ}03'49''$ por uma distância de 41,97m até o vértice **-M-0736**, de coordenadas $-10^{\circ}22'51,602''$ S e $-56^{\circ}31'24,615''$ W; deste segue, com azimute de $87^{\circ}46'34''$ por uma distância de 54,55m até o vértice **-M-0737**, de coordenadas $-10^{\circ}22'51,530''$ S e $-56^{\circ}31'22,823''$ W; deste segue, com azimute de $91^{\circ}17'14''$ por uma distância de 94,22m até o vértice **-M-0738**, de coordenadas $-10^{\circ}22'51,594''$ S e $-56^{\circ}31'19,725''$ W; deste segue, com azimute de $89^{\circ}09'27''$ por uma distância de 35,99m até o vértice **-M-0739**, de coordenadas $-10^{\circ}22'51,576''$ S e $-56^{\circ}31'18,542''$ W; deste segue, com azimute de $92^{\circ}20'14''$ por uma distância de 25,95m até o vértice **-M-0740**, de coordenadas $-10^{\circ}22'51,608''$ S e $-56^{\circ}31'17,689''$ W; deste segue, com azimute de $90^{\circ}00'00''$ por uma distância de 22,75m até o vértice **-M-0741**, de coordenadas $-10^{\circ}22'51,607''$ S e $-56^{\circ}31'16,941''$ W; deste segue, com azimute de $94^{\circ}38'08''$ por uma distância de 39,29m até o vértice **-M-0742**, de coordenadas $-10^{\circ}22'51,709''$ S e $-56^{\circ}31'15,653''$ W; deste segue, com azimute de $90^{\circ}00'00''$ por uma distância de 27,52m até o vértice **-M-0743**, de coordenadas $-10^{\circ}22'51,708''$ S e $-56^{\circ}31'14,748''$ W; deste segue, com azimute de $90^{\circ}00'00''$ por uma distância de 25,93m até o vértice **-M-0744**, de coordenadas $-10^{\circ}22'51,706''$ S e $-56^{\circ}31'13,896''$ W; deste segue, com azimute de $93^{\circ}03'59''$ por uma distância de 29,68m até o vértice **-M-0745**, de coordenadas $-10^{\circ}22'51,757''$ S e $-56^{\circ}31'12,921''$ W; deste segue, com azimute de $93^{\circ}01'58''$ por uma distância de 80,02m até o vértice **-M-0746**, de coordenadas $-10^{\circ}22'51,890''$ S e $-56^{\circ}31'10,293''$ W; deste segue, com azimute de $88^{\circ}53'54''$ por uma distância de 27,52m até o vértice **-M-0747**, de coordenadas $-10^{\circ}22'51,872''$ S e $-56^{\circ}31'09,388''$ W; deste segue, com azimute de $90^{\circ}00'00''$ por uma distância de 12,17m até o vértice **-M-0748**, de coordenadas $-10^{\circ}22'51,871''$ S e $-56^{\circ}31'08,988''$ W; deste segue, com azimute de $91^{\circ}54'33''$ por uma distância de 15,88m até o vértice **-M-0749**, de coordenadas $-10^{\circ}22'51,888''$ S e $-56^{\circ}31'08,466''$ W; deste segue, com azimute de $104^{\circ}55'53''$ por uma distância de 16,43m até o vértice **-M-0750**, de coordenadas $-10^{\circ}22'52,025''$ S e $-56^{\circ}31'07,943''$ W; deste segue, com azimute de $90^{\circ}00'00''$ por uma distância de 21,17m até o vértice **-M-0751**, de coordenadas $-10^{\circ}22'52,024''$ S e $-56^{\circ}31'07,247''$ W; deste segue, com azimute de $91^{\circ}35'28''$ por uma distância de 19,06m até o vértice **-M-0752**, de coordenadas $-10^{\circ}22'52,040''$ S e $-56^{\circ}31'06,621''$ W; deste segue, com azimute de $90^{\circ}00'00''$ por uma distância de 20,64m até o vértice **-M-0753**, de coordenadas $-10^{\circ}22'52,039''$ S e $-56^{\circ}31'05,942''$ W; deste segue, com azimute de $90^{\circ}00'00''$ por uma distância de 26,99m até o vértice **-M-0754**, de coordenadas $-10^{\circ}22'52,038''$ S e $-56^{\circ}31'05,055''$ W; deste segue, com azimute de $88^{\circ}30'44''$ por uma distância de 81,52m até o vértice **-M-0755**, de coordenadas $-10^{\circ}22'51,965''$ S e $-56^{\circ}31'02,375''$ W; deste segue, com azimute de $91^{\circ}02'30''$ por uma distância de 29,11m até o vértice **-M-0756**, de coordenadas $-10^{\circ}22'51,980''$ S e $-56^{\circ}31'01,418''$ W; deste segue, com azimute de $90^{\circ}00'00''$ por uma distância de 12,17m até o vértice **-M-0757**, de coordenadas $-10^{\circ}22'51,980''$ S e $-56^{\circ}31'01,017''$ W; deste segue, com azimute de $95^{\circ}02'33''$ por uma distância de 18,06m até o vértice **-M-0758**, de coordenadas $-10^{\circ}22'52,031''$ S e $-56^{\circ}31'00,426''$ W; deste segue, com azimute de $94^{\circ}51'52''$ por uma distância de 24,96m até o vértice **-M-0759**, de coordenadas $-10^{\circ}22'52,098''$ S e $-56^{\circ}30'59,608''$ W; deste segue, com azimute de $93^{\circ}07'20''$ por uma distância de

Lido em _____
29 NOV 2022
Responsável



29,15m até o vértice **-M-0760**, de coordenadas **-10°22'52,149" S** e **-56°30'58,650" W**; deste segue, com azimute de 91°38'12" por uma distância de 18,53m até o vértice **-M-0761**, de coordenadas **-10°22'52,165" S** e **-56°30'58,041" W**; deste segue, com azimute de 88°57'30" por uma distância de 29,11m até o vértice **-M-0762**, de coordenadas **-10°22'52,146" S** e **-56°30'57,084" W**; deste segue, com azimute de 89°08'42" por uma distância de 35,46m até o vértice **-M-0763**, de coordenadas **-10°22'52,127" S** e **-56°30'55,918" W**; deste segue, com azimute de 92°14'44" por uma distância de 27,01m até o vértice **-M-0764**, de coordenadas **-10°22'52,161" S** e **-56°30'55,031" W**; deste segue, com azimute de 90°00'00" por uma distância de 38,10m até o vértice **-M-0765**, de coordenadas **-10°22'52,159" S** e **-56°30'53,778" W**; deste segue, com azimute de 90°00'00" por uma distância de 27,52m até o vértice **-M-0766**, de coordenadas **-10°22'52,157" S** e **-56°30'52,873" W**; deste segue, com azimute de 90°00'00" por uma distância de 30,16m até o vértice **-M-0767**, de coordenadas **-10°22'52,156" S** e **-56°30'51,881" W**; deste segue, com azimute de 93°37'59" por uma distância de 33,40m até o vértice **-M-0768**, de coordenadas **-10°22'52,223" S** e **-56°30'50,784" W**; deste segue, com azimute de 111°51'24" por uma distância de 15,26m até o vértice **-M-0769**, de coordenadas **-10°22'52,407" S** e **-56°30'50,319" W**; deste segue, com azimute de 92°13'11" por uma distância de 85,39m até o vértice **-M-0770**, de coordenadas **-10°22'52,511" S** e **-56°30'47,512" W**; deste segue, com azimute de 90°44'27" por uma distância de 76,74m até o vértice **-M-0771**, de coordenadas **-10°22'52,539" S** e **-56°30'44,989" W**; deste segue, com azimute de 91°11'49" por uma distância de 110,82m até o vértice **-M-0772**, de coordenadas **-10°22'52,609" S** e **-56°30'41,345" W**; deste segue, com azimute de 92°12'09" por uma distância de 8,61m até o vértice **-M-0773**, de coordenadas **-10°22'52,619" S** e **-56°30'41,062" W**; deste segue, com azimute de 97°07'30" por uma distância de 16,00m até o vértice **-M-0774**, de coordenadas **-10°22'52,683" S** e **-56°30'40,540" W**; deste segue, com azimute de 90°00'00" por uma distância de 19,51m até o vértice **-M-0775**, de coordenadas **-10°22'52,682" S** e **-56°30'39,898" W**; deste segue, com azimute de 85°04'23" por uma distância de 19,25m até o vértice **-M-0776**, de coordenadas **-10°22'52,627" S** e **-56°30'39,268" W**; deste segue, com azimute de 82°14'05" por uma distância de 22,03m até o vértice **-M-0777**, de coordenadas **-10°22'52,529" S** e **-56°30'38,550" W**; deste segue, com azimute de 89°30'07" por uma distância de 38,04m até o vértice **-M-0778**, de coordenadas **-10°22'52,517" S** e **-56°30'37,299" W**; deste segue, com azimute de 86°51'40" por uma distância de 102,68m até o vértice **-M-0779**, de coordenadas **-10°22'52,328" S** e **-56°30'33,928" W**; deste segue, com azimute de 89°17'34" por uma distância de 80,37m até o vértice **-M-0780**, de coordenadas **-10°22'52,292" S** e **-56°30'31,285" W**; deste segue, com azimute de 90°00'00" por uma distância de 68,13m até o vértice **-M-0781**, de coordenadas **-10°22'52,289" S** e **-56°30'29,044" W**; deste segue, com azimute de 90°00'00" por uma distância de 94,92m até o vértice **-M-0782**, de coordenadas **-10°22'52,284" S** e **-56°30'25,923" W**; deste segue, com azimute de 87°20'13" por uma distância de 42,71m até o vértice **-M-0783**, de coordenadas **-10°22'52,217" S** e **-56°30'24,520" W**; deste segue, com azimute de 90°58'01" por uma distância de 78,39m até o vértice **-M-0784**, de coordenadas **-10°22'52,256" S** e **-56°30'21,942" W**; deste segue, com azimute de 94°42'28" por uma distância de 56,41m até o vértice **-M-0785**, de coordenadas **-10°22'52,404" S** e **-56°30'20,093" W**; deste segue, com azimute de 100°58'50" por uma distância de 22,57m até o vértice **-M-0786**, de coordenadas **-10°22'52,543" S** e **-56°30'19,364" W**; deste segue, com azimute de 91°55'11" por uma distância de 59,23m até o vértice **-M-0787**, de coordenadas **-10°22'52,605" S** e **-56°30'17,417" W**; deste segue, com azimute de 89°40'48" por uma distância de 59,20m até o vértice **-M-0788**, de coordenadas **-10°22'52,591" S** e **-56°30'15,470" W**; deste segue, com azimute de 91°49'06" por uma distância de 65,32m até o vértice **-M-0789**, de coordenadas **-10°22'52,655" S** e

Lido em 29 NOV 2022
Responsável



-56°30'13,323" W; deste segue, com azimute de 92°49'38" por uma distância de 42,91m até o vértice **-M-0790**, de coordenadas **-10°22'52,722" S** e **-56°30'11,913" W**; deste segue, com azimute de 88°51'15" por uma distância de 26,46m até o vértice **-M-0791**, de coordenadas **-10°22'52,703" S** e **-56°30'11,044" W**; deste segue, com azimute de 84°08'39" por uma distância de 20,75m até o vértice **-M-0792**, de coordenadas **-10°22'52,633" S** e **-56°30'10,365" W**; deste segue, com azimute de 90°30'53" por uma distância de 176,75m até o vértice **-M-0793**, de coordenadas **-10°22'52,676" S** e **-56°30'04,553" W**; deste segue, com azimute de 89°46'05" por uma distância de 130,71m até o vértice **-M-0794**, de coordenadas **-10°22'52,652" S** e **-56°30'00,254" W**; deste segue, com azimute de 89°28'10" por uma distância de 114,31m até o vértice **-M-0795**, de coordenadas **-10°22'52,612" S** e **-56°29'56,495" W**; deste segue, com azimute de 87°37'35" por uma distância de 102,22m até o vértice **-M-0796**, de coordenadas **-10°22'52,469" S** e **-56°29'53,137" W**; deste segue, com azimute de 86°01'14" por uma distância de 61,00m até o vértice **-M-0797**, de coordenadas **-10°22'52,327" S** e **-56°29'51,136" W**; deste segue, com azimute de 92°12'09" por uma distância de 41,31m até o vértice **-M-0798**, de coordenadas **-10°22'52,377" S** e **-56°29'49,778" W**; deste segue, com azimute de 95°48'24" por uma distância de 31,38m até o vértice **-M-0799**, de coordenadas **-10°22'52,479" S** e **-56°29'48,752" W**; deste segue, com azimute de 106°46'58" por uma distância de 34,82m até o vértice **-M-0800**, de coordenadas **-10°22'52,804" S** e **-56°29'47,655" W**; deste segue, com azimute de 101°50'32" por uma distância de 33,52m até o vértice **-M-0801**, de coordenadas **-10°22'53,027" S** e **-56°29'46,576" W**; deste segue, com azimute de 100°13'20" por uma distância de 32,80m até o vértice **-M-0802**, de coordenadas **-10°22'53,215" S** e **-56°29'45,514" W**; deste segue, com azimute de 99°17'36" por uma distância de 29,49m até o vértice **-M-0803**, de coordenadas **-10°22'53,368" S** e **-56°29'44,556" W**; deste segue, com azimute de 95°49'35" por uma distância de 26,06m até o vértice **-M-0804**, de coordenadas **-10°22'53,453" S** e **-56°29'43,703" W**; deste segue, com azimute de 98°52'50" por uma distância de 17,14m até o vértice **-M-0805**, de coordenadas **-10°22'53,538" S** e **-56°29'43,146" W**; deste segue, com azimute de 86°38'01" por uma distância de 27,03m até o vértice **-M-0806**, de coordenadas **-10°22'53,485" S** e **-56°29'42,259" W**; deste segue, com azimute de 69°38'48" por uma distância de 34,99m até o vértice **-M-0807**, de coordenadas **-10°22'53,087" S** e **-56°29'41,181" W**; deste segue, com azimute de 47°50'03" por uma distância de 37,84m até o vértice **-M-0808**, de coordenadas **-10°22'52,259" S** e **-56°29'40,260" W**; deste segue, com azimute de 46°51'45" por uma distância de 92,10m até o vértice **-M-0809**, de coordenadas **-10°22'50,205" S** e **-56°29'38,053" W**; deste segue, com azimute de 44°14'34" por uma distância de 84,95m até o vértice **-M-0810**, de coordenadas **-10°22'48,221" S** e **-56°29'36,107" W**; deste segue, com azimute de 59°59'43" por uma distância de 43,39m até o vértice **-M-0811**, de coordenadas **-10°22'47,512" S** e **-56°29'34,873" W**; deste segue, com azimute de 70°51'07" por uma distância de 40,33m até o vértice **-M-0812**, de coordenadas **-10°22'47,080" S** e **-56°29'33,621" W**; deste segue, com azimute de 81°11'13" por uma distância de 69,08m até o vértice **-M-0813**, de coordenadas **-10°22'46,731" S** e **-56°29'31,376" W**; deste segue, com azimute de 85°45'49" por uma distância de 28,65m até o vértice **-M-0814**, de coordenadas **-10°22'46,661" S** e **-56°29'30,437" W**; deste segue, com azimute de 69°48'01" por uma distância de 59,77m até o vértice **-M-0815**, de coordenadas **-10°22'45,986" S** e **-56°29'28,593" W**; deste segue, com azimute de 74°06'09" por uma distância de 86,93m até o vértice **-M-0816**, de coordenadas **-10°22'45,207" S** e **-56°29'25,845" W**; deste segue, com azimute de 73°33'35" por uma distância de 134,62m até o vértice **-M-0817**, de coordenadas **-10°22'43,959" S** e **-56°29'21,601" W**; deste segue, com azimute de 73°57'03" por uma distância de 80,39m até o vértice **-M-0818**, de coordenadas **-10°22'43,232" S** e **-56°29'19,061" W**; deste segue, com azimute de 75°38'36" por

Lido em 7 9 NOV 2022
Responsável

uma distância de 91,77m até o vértice **-M-0819**, de coordenadas **-10°22'42,486" S e -56°29'16,139" W**; deste segue, com azimute de 61°05'27" por uma distância de 81,00m até o vértice **-M-0820**, de coordenadas **-10°22'41,208" S e -56°29'13,809" W**; deste segue, com azimute de 57°04'40" por uma distância de 87,63m até o vértice **-M-0821**, de coordenadas **-10°22'39,653" S e -56°29'11,393" W**; deste segue, com azimute de 52°58'11" por uma distância de 75,57m até o vértice **-M-0822**, de coordenadas **-10°22'38,168" S e -56°29'09,411" W**; deste segue, com azimute de 46°04'46" por uma distância de 57,60m até o vértice **-M-0823**, de coordenadas **-10°22'36,865" S e -56°29'08,049" W**; deste segue, com azimute de 41°22'01" por uma distância de 70,86m até o vértice **-M-0824**, de coordenadas **-10°22'35,131" S e -56°29'06,512" W**; deste segue, com azimute de 46°07'24" por uma distância de 85,89m até o vértice **-M-0825**, de coordenadas **-10°22'33,190" S e -56°29'04,479" W**; deste segue, com azimute de 49°15'32" por uma distância de 105,81m até o vértice **-M-0826**, de coordenadas **-10°22'30,937" S e -56°29'01,847" W**; deste segue, com azimute de 45°57'37" por uma distância de 100,48m até o vértice **-M-0827**, de coordenadas **-10°22'28,659" S e -56°28'59,475" W**; deste segue, com azimute de 43°19'31" por uma distância de 96,02m até o vértice **-M-0828**, de coordenadas **-10°22'26,381" S e -56°28'57,312" W**; deste segue, com azimute de 48°05'39" por uma distância de 124,78m até o vértice **-M-0829**, de coordenadas **-10°22'23,663" S e -56°28'54,262" W**; deste segue, com azimute de 44°19'14" por uma distância de 142,01m até o vértice **-M-0830**, de coordenadas **-10°22'20,350" S e -56°28'51,005" W**; deste segue, com azimute de 44°07'31" por uma distância de 147,07m até o vértice **-M-0831**, de coordenadas **-10°22'16,907" S e -56°28'47,644" W**; deste segue, com azimute de 46°19'19" por uma distância de 145,97m até o vértice **-M-0832**, de coordenadas **-10°22'13,619" S e -56°28'44,177" W**; deste segue, com azimute de 45°51'49" por uma distância de 111,70m até o vértice **-M-0833**, de coordenadas **-10°22'11,083" S e -56°28'41,545" W**; deste segue, com azimute de 45°43'31" por uma distância de 133,03m até o vértice **-M-0834**, de coordenadas **-10°22'08,054" S e -56°28'38,418" W**; deste segue, com azimute de 49°59'44" por uma distância de 53,71m até o vértice **-M-0835**, de coordenadas **-10°22'06,927" S e -56°28'37,067" W**; deste segue, com azimute de 48°48'51" por uma distância de 49,22m até o vértice **-M-0836**, de coordenadas **-10°22'05,870" S e -56°28'35,851" W**; deste segue, com azimute de 68°24'17" por uma distância de 34,15m até o vértice **-M-0837**, de coordenadas **-10°22'05,459" S e -56°28'34,807" W**; deste segue, com azimute de 99°58'19" por uma distância de 42,65m até o vértice **-M-0838**, de coordenadas **-10°22'05,698" S e -56°28'33,425" W**; deste segue, com azimute de 99°58'19" por uma distância de 18,46m até o vértice **-M-0839**, de coordenadas **-10°22'05,801" S e -56°28'32,827" W**; deste segue, com azimute de 102°16'51" por uma distância de 99,51m até o vértice **-M-0840**, de coordenadas **-10°22'06,485" S e -56°28'29,629" W**; deste segue, com azimute de 105°40'05" por uma distância de 112,67m até o vértice **-M-0841**, de coordenadas **-10°22'07,470" S e -56°28'26,060" W**; deste segue, com azimute de 108°35'43" por uma distância de 74,67m até o vértice **-M-0842**, de coordenadas **-10°22'08,241" S e -56°28'23,731" W**; deste segue, com azimute de 105°56'43" por uma distância de 139,65m até o vértice **-M-0843**, de coordenadas **-10°22'09,483" S e -56°28'19,313" W**; deste segue, com azimute de 107°31'32" por uma distância de 118,62m até o vértice **-M-0844**, de coordenadas **-10°22'10,639" S e -56°28'15,592" W**; deste segue, com azimute de 108°48'58" por uma distância de 94,34m até o vértice **-M-0845**, de coordenadas **-10°22'11,625" S e -56°28'12,654" W**; deste segue, com azimute de 105°17'24" por uma distância de 95,32m até o vértice **-M-0846**, de coordenadas **-10°22'12,439" S e -56°28'09,629" W**; deste segue, com azimute de 107°37'55" por uma distância de 89,53m até o vértice **-M-0847**, de coordenadas **-10°22'13,317" S e -56°28'06,821" W**; deste segue, com azimute de 110°48'24" por uma distância de 70,76m até o vértice **-M-0848**, de coordenadas -

Lido em 29 NOV 2022
Responsável



10°22'14,132" S e -56°28'04,645" W; deste segue, com azimute de 105°15'18" por uma distância de 67,88m até o vértice **-M-0849**, de coordenadas **-10°22'14,710" S e -56°28'02,490" W**; deste segue, com azimute de 97°45'55" por uma distância de 58,75m até o vértice **-M-0850**, de coordenadas **-10°22'14,965" S e -56°28'00,576" W**; deste segue, com azimute de 89°17'02" por uma distância de 52,92m até o vértice **-M-0851**, de coordenadas **-10°22'14,941" S e -56°27'58,836" W**; deste segue, com azimute de 78°00'11" por uma distância de 54,10m até o vértice **-M-0852**, de coordenadas **-10°22'14,572" S e -56°27'57,096" W**; deste segue, com azimute de 78°20'26" por uma distância de 42,55m até o vértice **-M-0853**, de coordenadas **-10°22'14,289" S e -56°27'55,726" W**; deste segue, com azimute de 79°41'42" por uma distância de 29,58m até o vértice **-M-0854**, de coordenadas **-10°22'14,115" S e -56°27'54,769" W**; deste segue, com azimute de 90°00'00" por uma distância de 64,16m até o vértice **-M-0855**, de coordenadas **-10°22'14,112" S e -56°27'52,659" W**; deste segue, com azimute de 91°23'19" por uma distância de 109,17m até o vértice **-M-0856**, de coordenadas **-10°22'14,192" S e -56°27'49,070" W**; deste segue, com azimute de 91°02'13" por uma distância de 146,21m até o vértice **-M-0857**, de coordenadas **-10°22'14,270" S e -56°27'44,263" W**; deste segue, com azimute de 91°51'39" por uma distância de 183,32m até o vértice **-M-0858**, de coordenadas **-10°22'14,454" S e -56°27'38,237" W**; deste segue, com azimute de 91°05'28" por uma distância de 85,50m até o vértice **-M-0859**, de coordenadas **-10°22'14,502" S e -56°27'35,426" W**; deste segue, com azimute de 91°05'29" por uma distância de 53,43m até o vértice **-M-0860**, de coordenadas **-10°22'14,532" S e -56°27'33,669" W**; deste segue, com azimute de 89°06'17" por uma distância de 127,02m até o vértice **-M-0861**, de coordenadas **-10°22'14,461" S e -56°27'29,493" W**; deste segue, com azimute de 85°20'48" por uma distância de 114,15m até o vértice **-M-0862**, de coordenadas **-10°22'14,153" S e -56°27'25,752" W**; deste segue, com azimute de 85°57'20" por uma distância de 65,65m até o vértice **-M-0863**, de coordenadas **-10°22'13,999" S e -56°27'23,599" W**; deste segue, com azimute de 85°17'07" por uma distância de 64,38m até o vértice **-M-0864**, de coordenadas **-10°22'13,823" S e -56°27'21,490" W**; deste segue, com azimute de 82°55'47" por uma distância de 85,98m até o vértice **-M-0865**, de coordenadas **-10°22'13,473" S e -56°27'18,684" W**; deste segue, com azimute de 86°23'30" por uma distância de 73,57m até o vértice **-M-0866**, de coordenadas **-10°22'13,319" S e -56°27'16,270" W**; deste segue, com azimute de 78°20'26" por uma distância de 42,55m até o vértice **-M-0867**, de coordenadas **-10°22'13,036" S e -56°27'14,900" W**; deste segue, com azimute de 85°41'03" por uma distância de 35,16m até o vértice **-M-0868**, de coordenadas **-10°22'12,948" S e -56°27'13,747" W**; deste segue, com azimute de 84°57'27" por uma distância de 22,58m até o vértice **-M-0869**, de coordenadas **-10°22'12,882" S e -56°27'13,008" W**; deste segue, com azimute de 70°51'59" por uma distância de 68,61m até o vértice **-M-0870**, de coordenadas **-10°22'12,146" S e -56°27'10,878" W**; deste segue, com azimute de 72°38'45" por uma distância de 66,53m até o vértice **-M-0871**, de coordenadas **-10°22'11,497" S e -56°27'08,791" W**; deste segue, com azimute de 77°15'17" por uma distância de 56,97m até o vértice **-M-0872**, de coordenadas **-10°22'11,085" S e -56°27'06,964" W**; deste segue, com azimute de 78°21'59" por uma distância de 45,92m até o vértice **-M-0873**, de coordenadas **-10°22'10,781" S e -56°27'05,485" W**; deste segue, com azimute de 73°27'55" por uma distância de 44,16m até o vértice **-M-0874**, de coordenadas **-10°22'10,369" S e -56°27'04,094" W**; deste segue, com azimute de 76°30'15" por uma distância de 51,02m até o vértice **-M-0875**, de coordenadas **-10°22'09,979" S e -56°27'02,463" W**; deste segue, com azimute de 83°31'01" por uma distância de 58,58m até o vértice **-M-0876**, de coordenadas **-10°22'09,760" S e -56°27'00,549" W**; deste segue, com azimute de 78°31'05" por uma distância de 43,20m até o vértice **-M-0877**, de coordenadas **-10°22'09,477" S e -56°26'59,158" W**; deste segue, com azimute de

Lido em _____
Responsável _____
29 NOV 2022

9

76°19'44" por uma distância de 50,38m até o vértice **-M-0878**, de coordenadas **-10°22'09,087" S** e **-56°26'57,549" W**; deste segue, com azimute de 67°55'56" por uma distância de 52,82m até o vértice **-M-0879**, de coordenadas **-10°22'08,438" S** e **-56°26'55,940" W**; deste segue, com azimute de 62°10'33" por uma distância de 26,93m até o vértice **-M-0880**, de coordenadas **-10°22'08,028" S** e **-56°26'55,158" W**; deste segue, com azimute de 64°26'25" por uma distância de 16,86m até o vértice **-M-0881**, de coordenadas **-10°22'07,790" S** e **-56°26'54,658" W**; deste segue, com azimute de 72°33'10" por uma distância de 24,27m até o vértice **-M-0882**, de coordenadas **-10°22'07,552" S** e **-56°26'53,898" W**; deste segue, com azimute de 71°58'49" por uma distância de 57,73m até o vértice **-M-0883**, de coordenadas **-10°22'06,967" S** e **-56°26'52,093" W**; deste segue, com azimute de 66°28'37" por uma distância de 61,32m até o vértice **-M-0884**, de coordenadas **-10°22'06,167" S** e **-56°26'50,246" W**; deste segue, com azimute de 64°15'33" por uma distância de 41,12m até o vértice **-M-0885**, de coordenadas **-10°22'05,584" S** e **-56°26'49,029" W**; deste segue, com azimute de 77°09'08" por uma distância de 38,67m até o vértice **-M-0886**, de coordenadas **-10°22'05,302" S** e **-56°26'47,789" W**; deste segue, com azimute de 84°29'40" por uma distância de 55,16m até o vértice **-M-0887**, de coordenadas **-10°22'05,126" S** e **-56°26'45,984" W**; deste segue, com azimute de 87°09'57" por uma distância de 66,89m até o vértice **-M-0888**, de coordenadas **-10°22'05,015" S** e **-56°26'43,787" W**; deste segue, com azimute de 90°00'00" por uma distância de 71,44m até o vértice **-M-0889**, de coordenadas **-10°22'05,011" S** e **-56°26'41,438" W**; deste segue, com azimute de 84°33'35" por uma distância de 41,86m até o vértice **-M-0890**, de coordenadas **-10°22'04,879" S** e **-56°26'40,068" W**; deste segue, com azimute de 78°41'24" por uma distância de 16,86m até o vértice **-M-0891**, de coordenadas **-10°22'04,771" S** e **-56°26'39,524" W**; deste segue, com azimute de 90°00'00" por uma distância de 25,80m até o vértice **-M-0892**, de coordenadas **-10°22'04,769" S** e **-56°26'38,676" W**; deste segue, com azimute de 74°03'17" por uma distância de 24,08m até o vértice **-M-0893**, de coordenadas **-10°22'04,552" S** e **-56°26'37,915" W**; deste segue, com azimute de 65°39'32" por uma distância de 30,49m até o vértice **-M-0894**, de coordenadas **-10°22'04,141" S** e **-56°26'37,002" W**; deste segue, com azimute de 58°23'33" por uma distância de 30,29m até o vértice **-M-0895**, de coordenadas **-10°22'03,623" S** e **-56°26'36,155" W**; deste segue, com azimute de 52°07'31" por uma distância de 30,17m até o vértice **-M-0896**, de coordenadas **-10°22'03,019" S** e **-56°26'35,373" W**; deste segue, com azimute de 43°57'30" por uma distância de 25,73m até o vértice **-M-0897**, de coordenadas **-10°22'02,415" S** e **-56°26'34,787" W**; deste segue, com azimute de 46°04'51" por uma distância de 24,79m até o vértice **-M-0898**, de coordenadas **-10°22'01,854" S** e **-56°26'34,200" W**; deste segue, com azimute de 69°02'40" por uma distância de 33,29m até o vértice **-M-0899**, de coordenadas **-10°22'01,464" S** e **-56°26'33,179" W**; deste segue, com azimute de 65°08'10" por uma distância de 29,89m até o vértice **-M-0900**, de coordenadas **-10°22'01,054" S** e **-56°26'32,288" W**; deste segue, com azimute de 63°26'06" por uma distância de 20,71m até o vértice **-M-0901**, de coordenadas **-10°22'00,751" S** e **-56°26'31,679" W**; deste segue, com azimute de 63°58'13" por uma distância de 31,65m até o vértice **-M-0902**, de coordenadas **-10°22'00,297" S** e **-56°26'30,745" W**; deste segue, com azimute de 76°40'32" por uma distância de 25,83m até o vértice **-M-0903**, de coordenadas **-10°22'00,102" S** e **-56°26'29,919" W**; deste segue, com azimute de 79°02'45" por uma distância de 20,89m até o vértice **-M-0904**, de coordenadas **-10°21'59,972" S** e **-56°26'29,244" W**; deste segue, com azimute de 93°05'39" por uma distância de 24,51m até o vértice **-M-0905**, de coordenadas **-10°22'00,014" S** e **-56°26'28,440" W**; deste segue, com azimute de 90°00'00" por uma distância de 21,83m até o vértice **-M-0906**, de coordenadas **-10°22'00,012" S** e **-56°26'27,722" W**; deste segue, com azimute de 108°47'41" por uma distância de 24,98m até o vértice **-M-0907**, de

Feito em 29 NOV 2012
Responsável



coordenadas **-10°22'00,273" S e -56°26'26,944" W**; deste segue, com azimute de **105°59'37"** por uma distância de 216,06m até o vértice **-M-0908**, de coordenadas **-10°22'02,199" S e -56°26'20,110" W**; deste segue, com azimute de **105°06'34"** por uma distância de 67,37m até o vértice **-M-0909**, de coordenadas **-10°22'02,767" S e -56°26'17,971" W**; deste segue, com azimute de **105°06'35"** por uma distância de 69,66m até o vértice **-M-0910**, de coordenadas **-10°22'03,354" S e -56°26'15,758" W**; deste segue, com azimute de **104°32'55"** por uma distância de 114,81m até o vértice **-M-0911**, de coordenadas **-10°22'04,287" S e -56°26'12,102" W**; deste segue, com azimute de **107°24'09"** por uma distância de 27,87m até o vértice **-M-0912**, de coordenadas **-10°22'04,557" S e -56°26'11,227" W**; deste segue, com azimute de **110°38'49"** por uma distância de 29,26m até o vértice **-M-0913**, de coordenadas **-10°22'04,891" S e -56°26'10,326" W**; deste segue, com azimute de **109°14'59"** por uma distância de 26,48m até o vértice **-M-0914**, de coordenadas **-10°22'05,174" S e -56°26'09,503" W**; deste segue, com azimute de **104°14'14"** por uma distância de 27,43m até o vértice **-M-0915**, de coordenadas **-10°22'05,392" S e -56°26'08,629" W**; deste segue, com azimute de **107°06'10"** por uma distância de 21,59m até o vértice **-M-0916**, de coordenadas **-10°22'05,598" S e -56°26'07,949" W**; deste segue, com azimute de **99°43'39"** por uma distância de 28,19m até o vértice **-M-0917**, de coordenadas **-10°22'05,751" S e -56°26'07,036" W**; deste segue, com azimute de **105°38'32"** por uma distância de 30,91m até o vértice **-M-0918**, de coordenadas **-10°22'06,021" S e -56°26'06,056" W**; deste segue, com azimute de **109°36'15"** por uma distância de 30,75m até o vértice **-M-0919**, de coordenadas **-10°22'06,355" S e -56°26'05,103" W**; deste segue, com azimute de **100°53'07"** por uma distância de 21,02m até o vértice **-M-0920**, de coordenadas **-10°22'06,483" S e -56°26'04,424" W**; deste segue, com azimute de **104°53'11"** por uma distância de 32,44m até o vértice **-M-0921**, de coordenadas **-10°22'06,753" S e -56°26'03,393" W**; deste segue, com azimute de **112°33'27"** por uma distância de 27,93m até o vértice **-M-0922**, de coordenadas **-10°22'07,100" S e -56°26'02,544" W**; deste segue, com azimute de **113°37'45"** por uma distância de 34,66m até o vértice **-M-0923**, de coordenadas **-10°22'07,551" S e -56°26'01,499" W**; deste segue, com azimute de **121°05'50"** por uma distância de 29,20m até o vértice **-M-0924**, de coordenadas **-10°22'08,040" S e -56°26'00,676" W**; deste segue, com azimute de **113°57'45"** por uma distância de 50,81m até o vértice **-M-0925**, de coordenadas **-10°22'08,709" S e -56°25'59,148" W**; deste segue, com azimute de **117°31'55"** por uma distância de 42,07m até o vértice **-M-0926**, de coordenadas **-10°22'09,340" S e -56°25'57,920" W**; deste segue, com azimute de **116°16'53"** por uma distância de 9,80m até o vértice **-M-0927**, de coordenadas **-10°22'09,481" S e -56°25'57,630" W**; deste segue, com azimute de **116°16'54"** por uma distância de 26,05m até o vértice **-M-0928**, de coordenadas **-10°22'09,855" S e -56°25'56,861" W**; deste segue, com azimute de **124°49'28"** por uma distância de 22,24m até o vértice **-M-0929**, de coordenadas **-10°22'10,268" S e -56°25'56,261" W**; deste segue, com azimute de **136°25'56"** por uma distância de 22,46m até o vértice **-M-0930**, de coordenadas **-10°22'10,797" S e -56°25'55,751" W**; deste segue, com azimute de **131°38'00"** por uma distância de 9,56m até o vértice **-M-0931**, de coordenadas **-10°22'11,003" S e -56°25'55,515" W**; deste segue, com azimute de **132°52'44"** por uma distância de 7,58m até o vértice **-M-0932**, de coordenadas **-10°22'11,171" S e -56°25'55,332" W**; deste segue, com azimute de **108°26'05"** por uma distância de 8,79m até o vértice **-M-0933**, de coordenadas **-10°22'11,261" S e -56°25'55,058" W**; deste segue, com azimute de **96°00'34"** por uma distância de 7,58m até o vértice **-M-0934**, de coordenadas **-10°22'11,286" S e -56°25'54,810" W**; deste segue, com azimute de **103°14'26"** por uma distância de 6,93m até o vértice **-M-0935**, de coordenadas **-10°22'11,337" S e -56°25'54,588" W**; deste segue, com azimute de **94°38'53"** por uma distância de 12,24m até o vértice **-M-0936**, de coordenadas **-10°22'11,369" S e -56°25'54,187" W**; deste segue, com

Lido em 29 NOV 2022
Responsável



azimute de $104^{\circ}02'10''$ por uma distância de 17,45m até o vértice **-M-0937**, de coordenadas $-10^{\circ}22'11,506''$ S e $-56^{\circ}25'53,630''$ W; deste segue, com azimute de $109^{\circ}47'56''$ por uma distância de 14,06m até o vértice **-M-0938**, de coordenadas $-10^{\circ}22'11,660''$ S e $-56^{\circ}25'53,194''$ W; deste segue, com azimute de $106^{\circ}59'28''$ por uma distância de 19,92m até o vértice **-M-0939**, de coordenadas $-10^{\circ}22'11,848''$ S e $-56^{\circ}25'52,567''$ W; deste segue, com azimute de $87^{\circ}08'15''$ por uma distância de 10,60m até o vértice **-M-0940**, de coordenadas $-10^{\circ}22'11,831''$ S e $-56^{\circ}25'52,220''$ W; deste segue, com azimute de $109^{\circ}10'46''$ por uma distância de 12,89m até o vértice **-M-0941**, de coordenadas $-10^{\circ}22'11,968''$ S e $-56^{\circ}25'51,819''$ W; deste segue, com azimute de $118^{\circ}31'23''$ por uma distância de 27,70m até o vértice **-M-0942**, de coordenadas $-10^{\circ}22'12,397''$ S e $-56^{\circ}25'51,018''$ W; deste segue, com azimute de $116^{\circ}33'54''$ por uma distância de 36,68m até o vértice **-M-0943**, de coordenadas $-10^{\circ}22'12,929''$ S e $-56^{\circ}25'49,938''$ W; deste segue, com azimute de $111^{\circ}35'43''$ por uma distância de 27,32m até o vértice **-M-0944**, de coordenadas $-10^{\circ}22'13,255''$ S e $-56^{\circ}25'49,102''$ W; deste segue, com azimute de $114^{\circ}30'27''$ por uma distância de 39,55m até o vértice **-M-0945**, de coordenadas $-10^{\circ}22'13,787''$ S e $-56^{\circ}25'47,918''$ W; deste segue, com azimute de $116^{\circ}47'46''$ por uma distância de 58,69m até o vértice **-M-0946**, de coordenadas $-10^{\circ}22'14,645''$ S e $-56^{\circ}25'46,193''$ W; deste segue, com azimute de $115^{\circ}58'28''$ por uma distância de 22,96m até o vértice **-M-0947**, de coordenadas $-10^{\circ}22'14,972''$ S e $-56^{\circ}25'45,514''$ W; deste segue, com azimute de $91^{\circ}47'24''$ por uma distância de 16,94m até o vértice **-M-0948**, de coordenadas $-10^{\circ}22'14,988''$ S e $-56^{\circ}25'44,957''$ W; deste segue, com azimute de $101^{\circ}18'36''$ por uma distância de 32,38m até o vértice **-M-0949**, de coordenadas $-10^{\circ}22'15,193''$ S e $-56^{\circ}25'43,913''$ W; deste segue, com azimute de $93^{\circ}18'07''$ por uma distância de 27,56m até o vértice **-M-0950**, de coordenadas $-10^{\circ}22'15,243''$ S e $-56^{\circ}25'43,008''$ W; deste segue, com azimute de $98^{\circ}36'56''$ por uma distância de 35,32m até o vértice **-M-0951**, de coordenadas $-10^{\circ}22'15,413''$ S e $-56^{\circ}25'41,859''$ W; deste segue, com azimute de $102^{\circ}20'20''$ por uma distância de 17,33m até o vértice **-M-0952**, de coordenadas $-10^{\circ}22'15,533''$ S e $-56^{\circ}25'41,302''$ W; deste segue, com azimute de $100^{\circ}53'08''$ por uma distância de 28,02m até o vértice **-M-0953**, de coordenadas $-10^{\circ}22'15,703''$ S e $-56^{\circ}25'40,397''$ W; deste segue, com azimute de $96^{\circ}04'21''$ por uma distância de 25,01m até o vértice **-M-0954**, de coordenadas $-10^{\circ}22'15,788''$ S e $-56^{\circ}25'39,579''$ W; deste segue, com azimute de $96^{\circ}42'35''$ por uma distância de 18,12m até o vértice **-M-0955**, de coordenadas $-10^{\circ}22'15,856''$ S e $-56^{\circ}25'38,987''$ W; deste segue, com azimute de $102^{\circ}59'40''$ por uma distância de 14,12m até o vértice **-M-0956**, de coordenadas $-10^{\circ}22'15,958''$ S e $-56^{\circ}25'38,534''$ W; deste segue, com azimute de $103^{\circ}37'38''$ por uma distância de 17,97m até o vértice **-M-0957**, de coordenadas $-10^{\circ}22'16,095''$ S e $-56^{\circ}25'37,960''$ W; deste segue, com azimute de $97^{\circ}51'11''$ por uma distância de 15,49m até o vértice **-M-0958**, de coordenadas $-10^{\circ}22'16,163''$ S e $-56^{\circ}25'37,455''$ W; deste segue, com azimute de $96^{\circ}54'41''$ por uma distância de 17,59m até o vértice **-M-0959**, de coordenadas $-10^{\circ}22'16,231''$ S e $-56^{\circ}25'36,881''$ W; deste segue, com azimute de $100^{\circ}47'04''$ por uma distância de 22,62m até o vértice **-M-0960**, de coordenadas $-10^{\circ}22'16,368''$ S e $-56^{\circ}25'36,150''$ W; deste segue, com azimute de $103^{\circ}14'25''$ por uma distância de 18,48m até o vértice **-M-0961**, de coordenadas $-10^{\circ}22'16,504''$ S e $-56^{\circ}25'35,558''$ W; deste segue, com azimute de $107^{\circ}31'32''$ por uma distância de 21,09m até o vértice **-M-0962**, de coordenadas $-10^{\circ}22'16,710''$ S e $-56^{\circ}25'34,896''$ W; deste segue, com azimute de $98^{\circ}41'11''$ por uma distância de 38,54m até o vértice **-M-0963**, de coordenadas $-10^{\circ}22'16,897''$ S e $-56^{\circ}25'33,643''$ W; deste segue, com azimute de $97^{\circ}19'35''$ por uma distância de 74,69m até o vértice **-M-0964**, de coordenadas $-10^{\circ}22'17,203''$ S e $-56^{\circ}25'31,206''$ W; deste segue, com azimute de $90^{\circ}00'00''$ por uma distância de 39,16m até o vértice **-M-0965**, de coordenadas $-10^{\circ}22'17,201''$ S e $-56^{\circ}25'29,918''$ W; deste segue, com azimute de $54^{\circ}41'20''$ por uma distância de 31,13m até o

Lido em 29 NOV 2022
Responsável

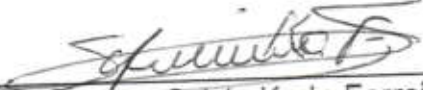


vértice -M-0966, de coordenadas $-10^{\circ}22'16,614''$ S e $-56^{\circ}25'29,084''$ W; deste segue, com azimute de $50^{\circ}19'22''$ por uma distância de 60,50m até o vértice -M-0967, de coordenadas $-10^{\circ}22'15,353''$ S e $-56^{\circ}25'27,555''$ W; deste segue, com azimute $62^{\circ}25'14''$ por uma distância de 38,43m até o vértice -M-0001, ponto inicial da descrição deste perímetro de 47.715,4467 metros.

Alta Floresta MT, 19/11/2022

Lido em 29 NOV. 2022

Responsável


Responsável Técnico: Sylvania Karla Ferreira dos Santos
Engenheira Florestal - CREA :023102
ART 1220220222777



Anotação de Responsabilidade Técnica -
ART Lei nº 6.496, de 7 de dezembro de 1977

CREA-MT

ART DE OBRA/SERVIÇO
1220220222777

Conselho Regional de Engenharia e Agronomia do CREA-MT

1. Responsável Técnico
 SYLVIA KARLA FERREIRA DOS SANTOS RNP: 1209627981
 Título Profissional: ENGENHEIRA FLORESTAL - ENGENHEIRA DE SEGURANÇA DO TRABALHO Registro: 23102
 Empresa Contratada: Registro:

2. Dados do Contrato
 Contratante: AGROPECUARIA CRUZEIRO DO SUL LTDA CPF/CNPJ: 28.495.218/0001-83
 Rua: PRIMEIRA VICINAL CRUZEIRO DO SUL Número: S/Nº
 Complemento: FAZENDA SANTA CLARA A - MATRÍCULA 22.989 Bairro: ZONA RURAL País: Brasil
 Cidade: ALTA FLORESTA UF: MT CEP: 78.580-000
 Contrato: Celebrado em: 01/11/2022
 Valor: R\$ 1.000,00 Tipo de Contratante: PESSOA JURÍDICA
 Ação Institucional: Responsável: Lido em 19/NOV/2022

3. Dados Obra/Serviço

Logradouro	Bairro	Número	Complemento	Cidade	UF	País	Cep	Coordenada
PRIMEIRA VICINAL CRUZEIRO DO SUL	ZONA RURAL	S/Nº	FAZENDA SANTA CLARA A - MATRÍCULA 22.989	ALTA FLORESTA	MT	BRA	78.580-000	010°25'23.64" S 056°45'47.92" O
Data de Vício: 01/11/2022		Previsão Término: 18/11/2023			Código:			
Tipo Profissional: PESSOA JURÍDICA		Proprietário: AGROPECUARIA CRUZEIRO DO SUL LTDA			CPF/CNPJ: 28.495.218/0001-83			

Descrição	Complemento	Quantidade	Unidade
Alibação de cadastro para sistema de informações geográficas		47,7154	quilômetro

Após a conclusão das atividades técnicas o profissional deverá proceder a baixa desta ART

5. Conservação
 Descrição da manilha viciosa numerada nº 1220220222777, zona e memorial

4. Observações
 As obrigações decorrentes de eventual responsabilidade previstas nas normas técnicas da ABNT, na legislação específica e no Decreto nº 5.296, de 2 de dezembro de 2004, não se aplicam às atividades profissionais de natureza técnica.

7. Assinaturas

Devidos caros, atenciosos e respeitosos cumprimentos,
 Alta Floresta (MT) 23/11/22
 Sônia Karla Ferreira dos Santos
 Engenheira Florestal - Engenheira de Segurança do Trabalho
 Agropecuária Cruzeiro do Sul Ltda

6. Informações

A ART é válida somente quando emitida, mediante apresentação do comprovante do pagamento ou empenho no site do Crea.
 A autenticidade deste documento pode ser verificada no site www.crea-mt.org.br ou www.crea.org.br.
 A garantia de sua assinatura de ART será de responsabilidade do profissional e do contratante com o objetivo de documentar o vínculo contratual.

www.crea-mt.org.br crea@crea-mt.org.br
 tel: (67)3115-3000

CREA-MT
 Conselho Regional de Engenharia e Agronomia

Núcleos: Número: 14000000008621596



Distância 47,7154 km
 1ª Vicinal Cruzeiro do Sul
 Lei Nº 1949/2011
 Município de Alta Floresta - MT



ESCALA: 1:217.041

Sistema de Projeção:
 SIRGAS 2000, GEOGRÁFICO, Fuso 21 S

Dados da Imagem
 Sentinel 2 L2A, Dia 28/07/2022
 Sistema de Projeção Geográfico
 Datum SIRGAS 2000.

Responsável Técnico:
 MsC. Sylvania Karla Ferreira dos Santos
 Engenheira Florestal
 CREAMT 023102
 ART 1220220222777



SK ENGENHARIA FLORESTAL
 skengenharia.florestal@gmail.com
 (66) 3521-1020 (66) 9 9610-9783

Lido em 29/11/2022
 Responsável